

Relativité générale : solutions exactes stationnaires

Gérard Clément

Résumé

Après des rappels sur les fondements de la relativité générale, nous nous intéressons aux solutions exactes stationnaires des équations d'Einstein et d'Einstein-Maxwell. Un certain nombre de ces solutions peuvent être interprétées comme des trous noirs, dont nous étudierons la géométrie d'espace-temps. Puis nous verrons comment la reformulation des équations d'Einstein-Maxwell stationnaires comme un modèle sigma autogravitant fournit un outil puissant pour la génération de nouvelles solutions.

Abstract

After a brief summary of the foundations of general relativity, we will concentrate on the stationary exact solutions of the Einstein and Einstein-Maxwell equations. A number of these solutions can be interpreted as black holes, corresponding to a special spacetime geometry. Then, we will show that the reformulation of the stationary Einstein-Maxwell equations as a gravitating sigma model provides us with a powerful tool to generate new solutions.

Table des matières

1	Rappels de relativité générale	5
1.1	Principe d'équivalence	5
1.1.1	Mécanique non-relativiste	5
1.1.2	Relativité restreinte	6
1.1.3	Relativité générale	7
1.2	Equations d'Einstein	9
1.2.1	Tenseur de Riemann	9
1.2.2	Equations d'Einstein	10
1.2.3	Energie-impulsion et moment angulaire	12
2	Trous noirs stationnaires	13
2.1	Introduction	13
2.2	Solution de Schwarzschild	14
2.2.1	Théorème de Birkhoff	15
2.2.2	Mouvement géodésique	15
2.3	Coordonnées de Kruskal	17
2.4	Diagrammes de Penrose	20
2.5	Solution de Reissner-Nordström	23
2.6	Multi-trous noirs	26
2.7	Solution de Bertotti-Robinson	27
2.8	Solution de Kerr	29
2.9	Thermodynamique des trous noirs	32
3	Modèles sigma	33
3.1	Vecteurs de Killing	34
3.2	Réduction des équations d'Einstein stationnaires	34
3.3	Représentant matriciel	37
3.4	Solutions dépendant d'un seul potentiel	39
3.5	Einstein-Maxwell	40
3.6	De Schwarzschild à Reissner-Nordström	42
3.7	De Schwarzschild à Kerr	43
3.7.1	Groupe de Geroch	43
3.7.2	De Schwarzschild à Bertotti-Robinson	45
3.7.3	De Bertotti-Robinson à Kerr	46
3.8	Gravitation à cinq dimensions	47
3.8.1	Le modèle sigma	47
3.8.2	Des cordes noires aux trous noirs	48
3.8.3	De Tangherlini à Myers-Perry	49
3.9	Coda	50

Introduction

La relativité générale d'Einstein est l'une des théories physiques les plus élégantes. L'idée fondamentale à la base de cette théorie est que le champ de gravitation, que nous mesurons par ses effets sur le mouvement des corps massifs, est en fait une manifestation de la géométrie courbe de l'espace-temps. Après sa formulation il y a bientôt un siècle, ses prédictions à l'échelle astrophysique (déviations de la lumière par les corps massifs, précession du périhélie des planètes, décalage des raies spectrales vers le rouge) ont été rapidement confirmées par l'observation. Une prédiction moins évidente de la théorie, qui a mis beaucoup plus longtemps à se dégager, est maintenant aussi bien confirmée par les observations. C'est celle de l'existence des trous noirs, des régions de l'espace-temps où la courbure est si forte que la lumière – ainsi que tous les objets tombés dans ces régions – est piégée et ne peut plus s'échapper.

La nature de la géométrie spatio-temporelle des trous noirs peut être élucidée par l'étude de certaines solutions exactes des équations d'Einstein, ou des équations couplées d'Einstein-Maxwell. Ces solutions stationnaires (indépendantes du temps), dont la plus connue est la solution de Schwarzschild, feront l'objet de ce cours.

Dans une première partie, nous rappellerons brièvement les notions de base de la relativité générale qui seront utilisées dans la suite du cours. La seconde partie sera consacrée à l'étude de la géométrie des trous noirs stationnaires, en commençant par la solution de Schwarzschild. Nous verrons comment la singularité apparente de cette solution sur la sphère de rayon $r = 2GM$ peut être éliminée par la transformation de coordonnées de Kruskal, cette sphère (l'horizon évènement) correspondant simplement à une frontière entre l'extérieur du trou noir, où la géométrie spatio-temporelle est qualitativement la même que celle de l'espace-temps de Minkowski, et l'intérieur du trou noir, où le cône de lumière a basculé de sorte que les rôles du temps et de la coordonnée radiale sont échangés. Nous introduirons ensuite les diagrammes de Penrose, qui permettent de visualiser simplement la structure causale des espace-temps stationnaires. Puis nous verrons que les équations d'Einstein-Maxwell admettent également une solution trou noir, la solution de Reissner-Nordström, dont la structure plus complexe (existence de deux horizons) peut être aisément visualisée à l'aide de diagrammes de Penrose. Après ces solutions à symétrie sphérique, nous étudierons la solution de Kerr, qui est seulement à symétrie axiale, et représente le champ gravitationnel à l'extérieur d'un objet massif en rotation autour de son axe de symétrie. Enfin, nous mentionnerons très rapidement quelques éléments de la thermodynamique des trous noirs.

La troisième partie sera axée sur la géométrie, non plus de l'espace-temps, mais de l'"hyperspace" des solutions stationnaires des équations d'Einstein ou d'Einstein-Maxwell. Nous verrons comment ces solutions peuvent être reliées entre elles par des transformations appartenant à un groupe de symétrie caché du système d'équations des champs. Nous montrerons d'abord comment réduire les équations d'Einstein stationnaires à celles d'une théorie effective de gravitation à seulement trois dimensions, avec comme source un champ dit de "modèle sigma" associé au groupe $SL(2, R)$. Puis nous passerons au cas des équations d'Einstein-Maxwell stationnaires, dont le groupe d'invariance est $SU(2, 1)$, et verrons comment une transformation du groupe permet de générer la solution de Reissner-Nordström à partir de celle de Schwarzschild. Nous verrons ensuite comment la combinaison de transformations du groupe $SU(2, 1)$ avec une transformation de coordonnées permet de générer la

solution de Kerr à partir de celle de Schwarzschild. Enfin, nous ferons une excursion vers la théorie d'Einstein pour l'espace-temps à cinq dimensions, dont l'espace des solutions 2-stationnaires (ne dépendant pas de deux des cinq coordonnées) admet le groupe d'invariance $SL(3, R)$, et montrerons comment l'action de ce groupe permet de relier entre elles diverses solutions de cette théorie.

Le temps limité nous a obligé à omettre d'autres aspects de la théorie et de la physique des trous noirs. Mentionnons les trous noirs en gravitation à trois dimensions, qui ont été étudiés en particulier par une collaboration algéro-française [1, 2, 3]. La dynamique des trous noirs, qui fait l'objet de nombreux travaux numériques : collisions de trous noirs, et formation de trous noirs par effondrement gravitationnel. Et les aspects quantiques, avec entre autres la possibilité de production de micro-trous noirs par des collisionneurs de particules.

Parmi les nombreux livres sur les sujets abordés ici, citons [4, 5, 6, 7, 8] pour la relativité générale, [9, 7, 10, 11, 12] pour la théorie des trous noirs, et [12] pour les modèles sigma.

1 Rappels de relativité générale

La relativité générale est une théorie du champ de gravitation. Comme pour toute théorie des champs, on procédera pour la définir en deux étapes. On commencera d'abord par définir le champ par son *effet* sur le mouvement d'une particule d'épreuve, puis on cherchera la *cause* de ce champ, pour arriver à formuler les équations régissant le champ produit par une source matérielle. D'où une division naturelle en deux parties : principe d'équivalence, puis équations d'Einstein.

1.1 Principe d'équivalence

1.1.1 Mécanique non-relativiste

En mécanique non-relativiste, le mouvement d'une particule d'épreuve isolée (loin des autres corps) est régi par la loi d'inertie de Galilée

$$\frac{d(m\vec{v})}{dt} = 0 \quad \left(\vec{v} \equiv \frac{d\vec{x}}{dt} \right), \quad (1.1)$$

qui traduit la conservation de la quantité de mouvement $m\vec{v}(t)$, où m est la *masse inerte* de la particule. En conséquence, la particule d'épreuve est animée d'un mouvement rectiligne et uniforme.

En présence d'autres corps massifs engendrant un champ de gravitation $\vec{g}(\vec{x})$, le mouvement de la particule d'épreuve est accéléré suivant la loi de Newton

$$\frac{d(m\vec{v})}{dt} = m\vec{g}(\vec{x}). \quad (1.2)$$

La constante de couplage m de la particule au champ de gravitation figurant dans le membre de droite de cette équation est la *masse gravitationnelle* de la particule. L'expérience montre que (en l'absence de frottement) tous les corps d'épreuve, quelle que soit leur masse inerte, sont accélérés de la même façon par un champ de gravitation, ce que traduit le principe

d'équivalence, qui affirme l'égalité (dans un système d'unités convenable) entre masse gravitationnelle et masse inerte.

1.1.2 Relativité restreinte

En relativité restreinte, la loi d'inertie prend la forme covariante

$$\frac{d(mu^\mu)}{d\tau} = 0 \quad (1.3)$$

($\mu = 0, 1, 2, 3$), où le quadrivecteur vitesse

$$u^\mu = \frac{dx^\mu}{d\tau} \quad (1.4)$$

est la dérivée par rapport au temps propre τ du quadrivecteur position x^μ . Le temps propre est relié au temps coordonnée $x^0 \equiv t$ par

$$d\tau^2 = \left(1 - \frac{\vec{v}^2}{c^2}\right) dt^2, \quad (1.5)$$

c étant la vitesse de la lumière. Cette définition peut être réécrite sous forme covariante (en unités $c = 1$)

$$-d\tau^2 = ds^2 = -dt^2 + d\vec{x}^2 = \eta_{\mu\nu} dx^\mu dx^\nu, \quad (1.6)$$

où ds est l'intervalle infinitésimal, $\eta_{\mu\nu} = \text{diag}(-1, +1, +1, +1)$ est le tenseur métrique de Minkowski, et on a utilisé la convention de sommation d'Einstein (la somme sur tous les indices répétés une fois en haut et une fois en bas est sous-entendue).

La loi d'inertie relativiste dérive du principe d'action

$$\begin{aligned} I &= -m \int d\tau = -m \int \sqrt{1 - \frac{\vec{v}^2}{c^2}} dt \\ &= m \int \eta_{\mu\nu} u^\mu u^\nu d\tau \end{aligned} \quad (1.7)$$

(toujours en unités $c = 1$).

Si l'on passe des coordonnées minkowskiennes x^μ à des coordonnées curvilignes quelconques \hat{x}^μ par la transformation

$$x^\mu \rightarrow \hat{x}^\mu,$$

l'intervalle infinitésimal prend la forme

$$ds^2 = \eta_{\mu\nu} \frac{\partial x^\mu}{\partial \hat{x}^\alpha} \frac{\partial x^\nu}{\partial \hat{x}^\beta} d\hat{x}^\alpha d\hat{x}^\beta = g_{\alpha\beta} d\hat{x}^\alpha d\hat{x}^\beta, \quad (1.8)$$

où $g_{\alpha\beta}$ est le tenseur métrique en coordonnées curvilignes. L'intégrale d'action (1.7) prend la forme

$$I = m \int g_{\mu\nu} \hat{x}^\mu \hat{x}^\nu d\tau. \quad (1.9)$$

La variation de cette action conduit, après intégration par parties, à

$$\begin{aligned}
\delta I &= m \int \left[\partial_\rho g_{\mu\nu} \hat{u}^\mu \hat{u}^\nu - 2 \frac{d}{d\tau} (g_{\rho\nu} \hat{u}^\nu) \right] \delta \hat{x}^\rho d\tau \\
&= m \int \left[(\partial_\rho g_{\mu\nu} - 2 \partial_\mu g_{\rho\nu}) \hat{u}^\mu \hat{u}^\nu - 2 g_{\rho\nu} \frac{d\hat{u}^\nu}{d\tau} \right] \delta \hat{x}^\rho d\tau \\
&= -2m \int g_{\rho\lambda} \frac{D\hat{u}^\lambda}{D\tau} \delta \hat{x}^\rho d\tau,
\end{aligned} \tag{1.10}$$

où on a utilisé $d/d\tau = u^\mu \partial_\mu$, et défini la dérivée covariante

$$\frac{D\hat{u}^\lambda}{D\tau} \equiv \frac{d\hat{u}^\lambda}{d\tau} + \Gamma_{\mu\nu}^\lambda \hat{u}^\mu \hat{u}^\nu, \tag{1.11}$$

où les

$$\Gamma_{\mu\nu}^\lambda \equiv \frac{1}{2} g^{\lambda\rho} (\partial_\mu g_{\rho\nu} + \partial_\nu g_{\rho\mu} - \partial_\rho g_{\mu\nu}) \tag{1.12}$$

sont les symboles de Christoffel (symétriques en (μ, ν)). Dans (1.12), $g^{\lambda\rho}$ est le tenseur métrique contravariant, dont les composantes sont les éléments de la matrice inverse de celle des $g_{\mu\nu}$:

$$g^{\lambda\rho} g_{\sigma\rho} = \delta_\lambda^\sigma$$

(δ_λ^σ étant le symbole de Kronecker). La loi d'inertie relativiste se traduit donc en coordonnées curvilignes par les équations de mouvement covariantes

$$\frac{D\hat{u}^\lambda}{D\tau} = 0, \tag{1.13}$$

1.1.3 Relativité générale

En relativité générale, l'espace-temps de Minkowski est remplacé par une variété riemannienne (à signature lorentzienne) à quatre dimensions, munie de la métrique

$$ds^2 = g_{\mu\nu}(x) dx^\mu dx^\nu, \tag{1.14}$$

où le tenseur métrique $g_{\mu\nu}(x)$ (matrice symétrique inversible de signature $-+++$) peut être diagonalisé (ramené à $\eta_{\mu\nu}$) localement par une transformation de coordonnées, mais pas globalement.

La *dérivée covariante* d'un quadrivecteur de composantes contravariantes $A^\mu(x)$ est définie par

$$D_\nu A^\mu = \partial_\nu A^\mu + \Gamma_{\nu\rho}^\mu A^\rho, \tag{1.15}$$

où les connexions $\Gamma_{\nu\rho}^\mu$ sont données par les symboles de Christoffel (1.12). La dérivée covariante (1.15) se transforme comme un tenseur mixte. De même, la dérivée covariante de la 1-forme de composantes covariantes

$$A_\mu = g_{\mu\nu} A^\nu \quad \leftrightarrow \quad A^\mu = g^{\mu\nu} A_\nu \tag{1.16}$$

est définie par

$$D_\nu A_\mu = \partial_\nu A_\mu - \Gamma_{\mu\nu}^\rho A_\rho, \quad (1.17)$$

Ces définitions se généralisent facilement aux cas de dérivées covariantes de tenseurs contravariants, covariants ou mixtes. En particulier, la dérivée covariante du tenseur métrique

$$D_\lambda g_{\mu\nu} = \partial_\lambda g_{\mu\nu} - \Gamma_{\mu\lambda}^\rho g_{\rho\nu} - \Gamma_{\nu\lambda}^\rho g_{\rho\mu} = 0 \quad (1.18)$$

s'annule, en vertu de la définition (1.12) de la connexion. Inversement, la condition (1.18) entraîne l'égalité entre la connexion et le symbole de Christoffel (1.12).

Le postulat de la relativité générale d'Einstein est que les particules d'épreuve non isolées obéissent toujours au principe d'action (1.7) qui conduit (comme dans le cas de l'espace-temps de Minkowski paramétrisé par des coordonnées curvilignes) aux équations

$$\frac{Du^\mu}{D\tau} \equiv u^\nu D_\nu u^\mu = \frac{du^\mu}{d\tau} + \Gamma_{\nu\rho}^\mu u^\nu u^\rho = 0, \quad (1.19)$$

Ces équations expriment que les particules d'épreuve suivent des *géodésiques* de genre temps de la variété riemannienne. On montre que ces équations admettent l'intégrale première

$$g_{\mu\nu} u^\mu u^\nu = -\alpha^2 \quad (1.20)$$

(α^2 constante réelle), équivalente (moyennant une redéfinition de l'unité de temps propre) à la définition $d\tau^2 = -ds^2$ du temps propre.

Les équations (1.19) peuvent aussi être écrites sous la forme quasi-newtonienne

$$\frac{d(mu^\mu)}{d\tau} = -m\Gamma_{\nu\rho}^\mu(x)u^\nu u^\rho, \quad (1.21)$$

où le membre de droite représente la "quadriforce" relativiste agissant sur la particule. Dans la limite non-relativiste ($u^i \rightarrow v^i$, $u^0 \rightarrow 1$, $\tau \rightarrow t$), ces équations se réduisent à

$$\frac{d(mv^i)}{dt} \simeq -m\Gamma_{00}^i(x). \quad (1.22)$$

Le terme $-\Gamma_{00}^i(x)$ peut donc être interprété comme le champ de gravitation newtonien agissant sur la particule. A l'approximation des champs faibles ($g_{\mu\nu} \simeq \eta_{\mu\nu}$) lentement variables, ce champ se réduit à

$$g^i = -\Gamma_{00}^i \simeq \frac{1}{2} \partial_i g_{00}. \quad (1.23)$$

Il en résulte que, moyennant ces approximations, la composante g_{00} du tenseur métrique est reliée au potentiel de gravitation newtonien par

$$g_{00} \simeq -(1 + 2U). \quad (1.24)$$

1.2 Equations d'Einstein

1.2.1 Tenseur de Riemann

Les connexions $\Gamma_{\nu\rho}^{\mu}(x)$ mesurent un champ de gravitation apparent, qui peut toujours être annulé localement par une transformation de coordonnées. Comment mesurer un vrai champ de gravitation (qui ne peut pas être annulé partout) ?

La réponse est fournie par la considération de la *déviations géodésique* entre deux particules d'épreuve qui suivent deux géodésiques voisines Γ et $\Gamma + \delta\Gamma$. La géodésique Γ est définie par

$$\frac{Du^{\mu}}{D\tau} = u^{\nu} D_{\nu} u^{\mu} = 0. \quad (1.25)$$

La géodésique voisine obéit à la même équation où le point d'espace-temps x^{μ} est remplacé par $x^{\mu} + \delta x^{\mu}$. Au premier ordre, la différence entre les équations des deux géodésiques est donc

$$\begin{aligned} 0 &= \delta(u^{\nu} D_{\nu} u^{\mu}) = \delta x^{\lambda} D_{\lambda} (u^{\nu} D_{\nu} u^{\mu}) \\ &= [\delta x^{\lambda} D_{\lambda}, u^{\nu} D_{\nu}] u^{\mu} + u^{\nu} D_{\nu} (\delta x^{\lambda} D_{\lambda} u^{\mu}) \\ &= \delta x^{\lambda} u^{\nu} [D_{\lambda}, D_{\nu}] u^{\mu} + u^{\nu} D_{\nu} (u^{\lambda} D_{\lambda} \delta x^{\mu}) \end{aligned} \quad (1.26)$$

(pour passer de la deuxième à la troisième ligne, on a utilisé $\delta x^{\lambda} D_{\lambda} u^{\mu} = \delta u^{\mu} = D\delta x^{\mu}/D\tau$).

Définissons le tenseur de courbure, ou tenseur de Riemann, $R_{\rho\lambda\nu}^{\mu}$ par :

$$[D_{\lambda}, D_{\nu}] A^{\mu} \equiv R^{\mu}{}_{\rho\lambda\nu} A^{\rho}. \quad (1.27)$$

L'équation (1.26) prend la forme "newtonienne" reliant une accélération à une force

$$\frac{D^2 \delta x^{\mu}}{D\tau^2} = R^{\mu}{}_{\rho\nu\lambda} u^{\rho} u^{\nu} \delta x^{\lambda}. \quad (1.28)$$

En utilisant pour le calcul de (1.27) les définitions des dérivées covariantes d'un vecteur et d'un tenseur mixte, on obtient les composantes du tenseur de Riemann

$$R^{\mu}{}_{\rho\nu\lambda} = \partial_{\nu} \Gamma_{\rho\lambda}^{\mu} - \partial_{\lambda} \Gamma_{\rho\nu}^{\mu} + \Gamma_{\sigma\nu}^{\mu} \Gamma_{\rho\lambda}^{\sigma} - \Gamma_{\sigma\lambda}^{\mu} \Gamma_{\rho\nu}^{\sigma}. \quad (1.29)$$

Le tenseur de Riemann satisfait aux propriétés de symétrie

$$\begin{aligned} R^{\mu}{}_{\rho\nu\lambda} &= -R^{\mu}{}_{\rho\lambda\nu}, \\ R^{\mu}{}_{\rho\nu\lambda} + R^{\mu}{}_{\nu\lambda\rho} + R^{\mu}{}_{\lambda\rho\nu} &= 0, \\ R_{\mu\rho\nu\lambda} &= R_{\nu\lambda\mu\rho} \end{aligned} \quad (1.30)$$

où $R_{\mu\rho\nu\lambda} \equiv g_{\mu\sigma} R^{\sigma}{}_{\rho\nu\lambda}$. En vertu de ces relations, le tenseur de Riemann a seulement 20 composantes linéairement indépendantes (dans le cas de l'espace-temps à quatre dimensions). Le tenseur de Riemann satisfait également aux *identités de Bianchi* (qui jouent pour la gravitation d'Einstein le même rôle que le premier groupe d'équations de Maxwell pour l'électromagnétisme)

$$D_{\sigma} R^{\mu}{}_{\rho\nu\lambda} + D_{\lambda} R^{\mu}{}_{\rho\sigma\nu} + D_{\nu} R^{\mu}{}_{\rho\lambda\sigma} = 0. \quad (1.31)$$

En contractant le premier et le troisième indices du tenseur de Riemann (en identifiant ces indices et en sommant dessus), on obtient le tenseur de Ricci

$$R_{\mu\nu} \equiv R^\lambda{}_{\mu\lambda\nu}. \quad (1.32)$$

Ce tenseur est symétrique, donc a (toujours à quatre dimensions) 10 composantes linéairement indépendantes. La contraction du tenseur de Ricci conduit au scalaire de courbure

$$R \equiv g^{\mu\nu} R_{\mu\nu}. \quad (1.33)$$

Enfin, la contraction des identités de Bianchi (1.31) conduit aux identités (appelées également identités de Bianchi)

$$D_\nu \left(R_\mu{}^\nu - \frac{1}{2} R \delta_\mu^\nu \right) = 0. \quad (1.34)$$

1.2.2 Equations d'Einstein

Les identités de Bianchi (1.34) sont formellement analogues à l'équation de continuité covariante pour le tenseur d'impulsion-énergie $T_{\mu\nu}$ de la matière. En relativité restreinte, ces équations de continuité (qui rappellent l'équation de continuité $\partial_\nu J^\nu = 0$ pour le courant électromagnétique) s'écrivent dans un repère minkowskien $\partial_\nu T_\mu{}^\nu = 0$, et leur généralisation covariante en relativité générale est

$$D_\nu T_\mu{}^\nu = 0. \quad (1.35)$$

Cette analogie entre (1.34) et (1.35) a conduit Einstein à postuler les équations qui déterminent le champ de gravitation engendré par une distribution de matière :

$$R_{\mu\nu} - \frac{1}{2} R g_{\mu\nu} = \kappa T_{\mu\nu}. \quad (1.36)$$

Ces équations non linéaires aux dérivées partielles d'ordre 2 qui (nous allons le voir) sont la généralisation covariante de la loi non-relativiste déterminant le potentiel newtonien, permettent de déterminer la géométrie courbe de l'espace-temps (membre de gauche) à partir de la distribution d'impulsion-énergie de la matière (membre de droite), κ étant la constante de gravitation d'Einstein.

Pour déterminer la constante κ , remarquons d'abord que la contraction des équations d'Einstein (1.36) conduit à $-R = \kappa T$, ce qui permet de réécrire ces équations sous la forme

$$R_{\mu\nu} = \kappa \left(T_{\mu\nu} - \frac{1}{2} T g_{\mu\nu} \right).$$

Il en résulte, à l'approximation non-relativiste,

$$R_{00} \simeq \partial_i \Gamma_{00}^i \simeq -\frac{1}{2} \nabla^2 g_{00} \simeq \nabla^2 U \simeq \frac{\kappa}{2} T_{00} = 4\pi G T_{00}, \quad (1.37)$$

où nous avons identifié T_{00} à la densité de masse ρ , et utilisé la loi de Newton $\nabla^2 U = 4\pi G \rho$ déterminant le potentiel de gravitation engendré par cette densité. La constante d'Einstein est donc reliée à la constante de Newton par

$$\kappa = \frac{8\pi G}{c^4} \quad (1.38)$$

(où nous avons rétabli la vitesse de la lumière c).

Les équations d'Einstein (1.36) peuvent être dérivées en extrémisant l'action

$$S = S_g + S_m, \quad (1.39)$$

où l'action S_g de la gravitation est l'action d'Einstein-Hilbert

$$S_g = -\frac{1}{2\kappa} \int R \sqrt{|g|} d^4x \quad (1.40)$$

($\sqrt{|g|} d^4x$, avec $g = \det(g_{\mu\nu})$, est la densité invariante de 4-volume en coordonnées curvilignes), et S_m est l'action de la matière.

Pour calculer la variation de l'action d'Einstein-Hilbert lors d'une variation $\delta g_{\mu\nu}$ du tenseur métrique, décomposons

$$\delta(R\sqrt{|g|}) = \sqrt{|g|} \left[g^{\mu\nu} \delta R_{\mu\nu} + R_{\mu\nu} \delta g^{\mu\nu} + \frac{1}{2} R \frac{\delta|g|}{|g|} \right]. \quad (1.41)$$

Le premier terme conduit à une divergence qui disparaît après intégration par parties, car

$$\begin{aligned} \sqrt{|g|} g^{\mu\nu} \delta R_{\mu\nu} &= \sqrt{|g|} g^{\mu\nu} [D_\lambda \delta \Gamma_{\mu\nu}^\lambda - D_\nu \delta \Gamma_{\mu\lambda}^\lambda] \\ &= D_\lambda (\sqrt{|g|} g^{\mu\nu} \delta \Gamma_{\mu\nu}^\lambda) - D_\nu (\sqrt{|g|} g^{\mu\nu} \delta \Gamma_{\mu\lambda}^\lambda) \\ &= \partial_\lambda (\sqrt{|g|} g^{\mu\nu} \delta \Gamma_{\mu\nu}^\lambda) - \partial_\nu (\sqrt{|g|} g^{\mu\nu} \delta \Gamma_{\mu\lambda}^\lambda) \approx 0, \end{aligned} \quad (1.42)$$

où nous avons utilisé $D_\lambda g^{\mu\nu} = 0$, et

$$D_\lambda A^\lambda = \frac{1}{\sqrt{|g|}} \partial_\lambda (\sqrt{|g|} A^\lambda). \quad (1.43)$$

En remarquant que

$$\delta g^{\mu\nu} = -g^{\mu\lambda} g^{\nu\rho} \delta g_{\lambda\rho}, \quad \frac{\delta|g|}{|g|} = g^{\mu\nu} \delta g_{\mu\nu}, \quad (1.44)$$

il reste

$$\delta S_g = \frac{1}{2\kappa} \int \left[R^{\mu\nu} - \frac{1}{2} R g^{\mu\nu} \right] \delta g_{\mu\nu} \sqrt{|g|} d^4x. \quad (1.45)$$

La variation de l'action de la matière

$$S_m = \int \mathcal{L}_m \sqrt{|g|} d^4x \quad (1.46)$$

étant, par définition du tenseur d'impulsion-énergie,

$$\delta S_m \equiv -\frac{1}{2} \int T^{\mu\nu} \delta g_{\mu\nu} \sqrt{|g|} d^4x, \quad (1.47)$$

la variation de l'action totale (1.39) conduit bien aux équations d'Einstein

$$R_{\mu\nu} - \frac{1}{2} R g_{\mu\nu} = \kappa T_{\mu\nu}. \quad (1.48)$$

1.2.3 Energie-impulsion et moment angulaire

En électromagnétisme, l'intégration de l'équation de Maxwell-Gauss

$$\nabla \cdot \vec{E} = \rho \quad (1.49)$$

dans un volume \mathcal{V} d'espace conduit au théorème de Gauss

$$\oint \vec{E} \cdot d\vec{\Sigma} = Q, \quad (1.50)$$

qui exprime que la charge électrique Q contenue dans \mathcal{V} est donnée par le flux du champ électrique à travers la surface orientée entourant ce volume. Cette charge est conservée en vertu de l'équation de continuité $\partial_\nu J^\nu = 0$.

En relativité générale, la définition des charges conservées P^μ (énergie pour $\mu = 0$ et impulsion pour $\mu = i$) et J^{ij} (moment angulaire) est compliquée par la non-linéarité des équations d'Einstein. A cause de cette non-linéarité, l'énergie totale contenue dans un volume \mathcal{V} est la somme de l'énergie de la matière contenue dans ce volume et de l'énergie du champ de gravitation qu'elle engendre. Cette énergie est assez délicate à calculer, mais les approches modernes fondées sur la notion d'énergie quasi-locale (voir en particulier [13] et [14]) conduisent à des résultats sans ambiguïté.

Dans le cas de champs de gravitation faibles, on peut recourir à une définition simplifiée fondée sur la linéarisation de la métrique. Supposons qu'à grande distance des sources la métrique est voisine de la métrique de Minkowski,

$$g_{\mu\nu} = \eta_{\mu\nu} + \gamma_{\mu\nu}, \quad (1.51)$$

avec $|\gamma_{\mu\nu}| \ll 1$. Au premier ordre en γ ,

$$\begin{aligned} \Gamma_{\mu\nu}^\lambda &\simeq \frac{1}{2} [\partial_\mu \gamma_\nu^\lambda + \partial_\nu \gamma_\mu^\lambda - \eta^{\lambda\rho} \partial_\rho \gamma_{\mu\nu}], \\ R_{\mu\nu} &\simeq \frac{1}{2} [\partial_\mu \partial_\lambda \gamma_\nu^\lambda + \partial_\nu \partial_\lambda \gamma_\mu^\lambda - \eta^{\lambda\rho} \partial_\lambda \partial_\rho \gamma_{\mu\nu} - \partial_\mu \partial_\nu \gamma], \end{aligned} \quad (1.52)$$

où les indices sont élevés avec la métrique de Minkowski ($\gamma_\nu^\lambda \equiv \eta^{\lambda\rho} \gamma_{\nu\rho}$), et $\gamma \equiv \gamma_\lambda^\lambda$.

Les identités de Bianchi linéarisées

$$\partial_\nu \left(R^{\mu\nu} - \frac{1}{2} R g^{\mu\nu} \right) \simeq 0. \quad (1.53)$$

s'intègrent par

$$R^{\mu\nu} - \frac{1}{2} R g^{\mu\nu} \simeq -\partial_\lambda Q^{\lambda\mu\nu}, \quad (1.54)$$

où $Q^{\lambda\mu\nu}$, antisymétrique en (λ, μ) , et symétrique en (μ, ν) , a pour expression

$$Q^{\lambda\mu\nu} \equiv \partial^{[\lambda} \gamma^{\mu]\nu} + \eta^{[\lambda\nu} (\partial^{\mu]} \gamma - \partial_\rho \gamma^{\mu]\rho}) \quad (1.55)$$

(où on antisymétrise dans les indices entre crochets, $[\lambda.. \mu] = \frac{1}{2}(\lambda.. \mu - \mu.. \lambda)$).

Toujours au premier ordre en γ , seule la matière contribue à la quadri-impulsion

$$P^\mu \simeq \int T^{0\mu} d^3x = -\frac{1}{\kappa} \int \partial_\lambda Q^{\lambda 0\mu} d^3x = -\frac{1}{\kappa} \oint Q^{i0\mu} d\Sigma_i. \quad (1.56)$$

En particulier, l'énergie totale contenue dans le volume \mathcal{V} est donnée par

$$P^0 = \frac{1}{\kappa} \oint (\partial_j \gamma_{ij} - \partial_i \gamma_{jj}) d\Sigma_i. \quad (1.57)$$

De même, le moment angulaire est donné par

$$\begin{aligned} J^{ij} &= \int (x^i T^{0j} - x^j T^{0i}) d^3x \\ &= -\frac{1}{\kappa} \int (x^i \partial_\lambda Q^{\lambda 0j} - x^j \partial_\lambda Q^{\lambda 0i}) d^3x \\ &= -\frac{1}{\kappa} \oint (x^i Q^{k0j} - x^j Q^{k0i}) d\Sigma_k + \frac{2}{\kappa} \int Q^{[i0j]} d^3x, \end{aligned} \quad (1.58)$$

où le premier terme est le moment orbital total, et le deuxième est le moment angulaire intrinsèque ou "spin". Ce dernier terme peut s'écrire

$$\begin{aligned} S^{ij} &= \frac{1}{2\kappa} \int (\partial^i \gamma^{0j} - \partial^j \gamma^{0i}) d^3x \\ &= -\frac{1}{2\kappa} \oint (\delta_{ik} \gamma_{0j} - \delta_{jk} \gamma_{0i}) d\Sigma_k. \end{aligned} \quad (1.59)$$

2 Trous noirs stationnaires

2.1 Introduction

En théorie newtonienne, l'énergie non-relativiste d'un corps d'épreuve de masse m à la distance r d'une masse ponctuelle M est

$$E = \frac{1}{2} m v^2 - \frac{GMm}{r}. \quad (2.1)$$

Le corps d'épreuve peut donc s'échapper du champ gravitationnel de la masse M si sa vitesse est supérieure à la *vitesse de libération* $v_L = (2GM/r)^{1/2}$. Cette vitesse devient égale à la vitesse de la lumière, $v_L = c$, à la distance $r = R_0 = 2GM/c^2$. Il en résulte, comme montré par Michell (1783) et Laplace¹ (1796), que la lumière ne peut pas s'échapper d'une étoile de rayon $R < R_0$, qui est donc invisible pour un observateur extérieur (étoile noire).

Cet argument théorique a été confirmé dans le cadre de la théorie de la relativité générale. Un bref historique :

- Schwarzschild (1916) a obtenu la solution statique à symétrie sphérique des équations d'Einstein, aujourd'hui interprétée comme représentant un trou noir.

1. La traduction de l'article de Laplace est reproduite en Appendice du livre [9].

- Chandrasekhar (1930) a décrit la formation de trous noirs par effondrement gravitationnel.
- La notion d’horizon évènement est due à Finkelstein (1958).
- Le terme de “trou noir” semble avoir été employé pour la première fois par Wheeler (1967).

Du point de vue des valeurs numériques, le calcul fait pour le Soleil avec $G = 6.67 \times 10^{-11} \text{ m}^3\text{kg}^{-1}\text{s}^{-2}$ et $M_{\odot} = 1.99 \times 10^{30}\text{kg}$ donne $R_0 = 2.95 \times 10^3\text{m} \ll R_{\odot} = 6.96 \times 10^8\text{m}$. Notre Soleil n’est donc pas une étoile noire ! Dans le cas de notre Galaxie, le “rayon noir” vaut $R_0 = 2.7 \times 10^{14}\text{m} = 0.028$ année-lumière, grand devant le rayon R_{\odot} du Soleil, mais petit devant le rayon de la Galaxie $R_G \simeq 4.8 \times 10^{20}\text{m} \simeq 50000$ années-lumière. L’observation astrophysique montre qu’il existe des trous noirs supermassifs au centre des galaxies, dont la masse est de l’ordre de 10^5 à 10^{10} masses solaires. On observe également des trous noirs résultant de l’effondrement gravitationnel d’une étoile. Le plus petit récemment observé (2008) a une masse de l’ordre de 4 masses solaires.

Les trous noirs dans l’Univers se forment par effondrement gravitationnel et croissent par accréation de matière, donc sont en constante évolution dynamique. Cependant, un trou noir suffisamment isolé (loin d’autres corps matériels et d’autres trous noirs) et suffisamment froid (voir 2.9 plus loin) approchera au bout d’un certain temps un état quasi-stationnaire, bien décrit par une solution exacte stationnaire des équations d’Einstein (ou d’Einstein-Maxwell dans le cas de trous noirs chargés électriquement). C’est à la géométrie de ces trous noirs stationnaires que nous allons nous intéresser maintenant.

2.2 Solution de Schwarzschild

Quelle est la solution des équations d’Einstein dans le vide

$$R_{\mu\nu}(x) - \frac{1}{2}R(x)g_{\mu\nu}(x) = 0 \quad ? \quad (2.2)$$

La réponse à cette question dépend du domaine de définition de $x = (t, \vec{x})$, et des conditions aux limites.

Si $x \in R \times R^3$ (tout l’espace-temps), et $g_{\mu\nu}(t, \vec{x}) \rightarrow \eta_{\mu\nu}$ pour $|x| \rightarrow \infty$ (espace-temps asymptotiquement plat), la seule solution est Minkowski, $g_{\mu\nu}(x) = \eta_{\mu\nu}$.

Si $x \in R \times R^3$, mais on impose seulement la condition que le champ de gravitation (tenseur de Riemann) est faible à l’infini, on peut avoir (comme dans le cas des équations de Maxwell) des solutions ondulatoires, décrivant la propagation d’ondes gravitationnelles.

Plus généralement, se pose la question de savoir quelle est la solution $g_{\mu\nu}(x)$ des équations d’Einstein, non plus dans tout l’espace-temps, mais à l’extérieur de sources matérielles $T_{\mu\nu}(x)$ localisées dans un domaine d’espace \mathcal{D} compact. A grande distance des sources, on peut souvent approximer la distribution de matière par une distribution à symétrie sphérique. Dans ce cas on a le

2.2.1 Théorème de Birkhoff

Ce théorème (1923) énonce que la seule solution à symétrie sphérique des équations d'Einstein dans le vide est nécessairement statique,

$$ds^2 = -g_{00}(\vec{x})dt^2 + g_{ij}(\vec{x})dx^i dx^j, \quad (2.3)$$

et asymptotiquement plate. C'est la solution de Schwarzschild (1916)

$$ds^2 = - \left(1 - \frac{2GM}{r}\right) dt^2 + \left(1 - \frac{2GM}{r}\right)^{-1} dr^2 + r^2(d\theta^2 + \sin^2\theta d\varphi^2) \quad (2.4)$$

à une transformation de coordonnées près.

Le potentiel $-g_{00} = 1 - 2GM/r$ correspond bien au potentiel newtonien si la constante d'intégration M est la masse de la source. Cette solution est valable par exemple à l'extérieur d'une étoile sphérique de masse M , qu'elle soit statique ou en effondrement gravitationnel.

Un corollaire de ce théorème est que, comme dans le cas de l'électromagnétisme, les solutions ondulatoires (non statiques) sont nécessairement à symétrie non sphérique, donc multipolaires (dipolaires dans le cas des ondes électromagnétique, quadrupolaires dans le cas des ondes gravitationnelles).

La métrique de Schwarzschild (2.4) est *singulière*, d'une part au point $r = 0$ (où $g_{tt} = \infty$, $g_{ij} = 0$), d'autre part sur la sphère $r = R_S \equiv 2GM$ (où $g_{tt} = 0$, $g_{rr} = \infty$). On sait aujourd'hui que cette singularité de Schwarzschild est une singularité fictive, qui peut être éliminée par une transformation de coordonnées (voir 2.3 plus loin). A la surface de l'étoile, la solution de Schwarzschild se raccorde avec la solution intérieure, qui est régulière. Donc, en tout état de cause, la solution globale pour une étoile à symétrie sphérique n'a pas de singularité métrique si son rayon est supérieur au rayon de Schwarzschild R_S .

2.2.2 Mouvement géodésique

Plutôt que d'utiliser l'équation des géodésiques

$$\frac{du^\lambda}{d\tau} + \Gamma_{\mu\nu}^\lambda u^\mu u^\nu = 0, \quad (2.5)$$

il est plus simple de partir de l'action

$$I = \frac{1}{2} \int g_{\mu\nu}(x) \dot{x}^\mu \dot{x}^\nu d\lambda \quad (\dot{x}^\mu \equiv dx^\mu/d\lambda), \quad (2.6)$$

où λ est un paramètre affine, et de commencer par mettre en évidence les constantes du mouvement, ou intégrales premières. Dans le cas de la solution de Schwarzschild

$$ds^2 = -f(r) dt^2 + f(r)^{-1} dr^2 + r^2 d\Omega^2, \quad (2.7)$$

avec

$$f(r) = 1 - \frac{2GM}{r}, \quad d\Omega^2 = d\theta^2 + \sin^2\theta d\varphi^2,$$

l'invariance par translation dans le temps (solution statique) entraîne la conservation de l'énergie

$$E = -p_t = f(r)\dot{t} \quad (2.8)$$

(où $p_\mu = g_{\mu\nu}\dot{x}^\nu$ est le moment conjugué à la variable x^μ). En inversant cette relation, on obtient l'intégrale première

$$\dot{t} = \frac{E}{f(r)}. \quad (2.9)$$

De même, l'invariance par rotations (symétrie sphérique) entraîne la conservation du moment angulaire \vec{L} , qui assure que la géodésique est dans un plan perpendiculaire à \vec{L} . En choisissant ce plan comme plan $\theta = \pi/2$, il reste la conservation du moment angulaire azimutal

$$L_z = L = p_\varphi = r^2\dot{\varphi}, \quad (2.10)$$

conduisant à l'intégrale première

$$\dot{\varphi} = \frac{L}{r^2}. \quad (2.11)$$

Enfin, le caractère scalaire de l'action (2.6) conduit à l'intégrale première

$$g_{\mu\nu}(x)\dot{x}^\mu\dot{x}^\nu \equiv g^{\mu\nu}p_\mu p_\nu = \frac{ds^2}{d\lambda^2} = -\mu^2, \quad (2.12)$$

où μ^2 est une constante réelle, qui est positive pour des géodésiques de genre temps, nulle pour des géodésiques de genre lumière, et négative pour des géodésiques de genre espace. Vérifions la constance de (2.12) :

$$\begin{aligned} \frac{d(-\mu^2)}{d\lambda^2} &= 2g^{\mu\nu}\dot{p}_\mu p_\nu + \dot{g}^{\alpha\beta} p_\alpha p_\beta \\ &= g^{\mu\nu}\partial_\mu g_{\lambda\rho}\dot{x}^\lambda\dot{x}^\rho p_\nu + \partial_\mu g^{\alpha\beta}\dot{x}^\mu p_\alpha p_\beta \\ &= g^{\mu\nu}\partial_\mu g_{\lambda\rho}g^{\lambda\alpha}p_\alpha g^{\rho\beta}p_\beta p_\nu + \partial_\mu g^{\alpha\beta}g^{\mu\nu}p_\nu p_\alpha p_\beta = 0. \end{aligned} \quad (2.13)$$

[Pour passer de la première à la deuxième ligne, on a utilisé l'équation d'Euler-Lagrange $\dot{p}_\mu = (1/2)\partial_\mu g_{\lambda\rho}\dot{x}^\lambda\dot{x}^\rho$, et pour conclure à la nullité de la troisième ligne on a remarqué que $\partial_\mu g_{\lambda\rho}g^{\lambda\alpha} = -g_{\lambda\rho}\partial_\mu g^{\lambda\alpha}$.]

Pour la métrique de Schwarzschild, l'intégrale première (2.12) s'écrit

$$-\frac{E^2}{f} + \frac{\dot{r}^2}{f} + \frac{L^2}{r^2} = -\mu^2, \quad (2.14)$$

d'où

$$\dot{r}^2 = E^2 - f(r)\left(\mu^2 + \frac{L^2}{r^2}\right) = E^2 - V(r). \quad (2.15)$$

Nous avons ainsi ramené l'étude du mouvement géodésique dans la métrique de Schwarzschild à celle du mouvement d'une particule d'épreuve non-relativiste dans le potentiel central effectif $V(r)$.

Dans le cas de particules suivant une trajectoire radiale ($L = 0$, $\mu^2 > 0$), le potentiel effectif varie comme le potentiel newtonien. La particule d'épreuve en chute libre tombe sur

la singularité de Schwarzschild en un temps propre fini (ou un paramètre affine fini pour $\mu^2 = 0$). Mais le temps coordonnée (mesuré par l'observateur à l'infini) est, d'après (2.8), $t = Er^*$, où

$$r^* = \int f^{-1} dr = r + 2GM \ln \left| \frac{r}{2GM} - 1 \right| \quad (2.16)$$

est la coordonnée tortue ("tortoise coordinate"). Pour l'observateur, la particule d'épreuve (telle la tortue d'Achille) n'atteint la sphère de Schwarzschild qu'au bout d'un temps coordonnée infini.

Puis, la particule d'épreuve continue sa chute sur la singularité centrale $r = 0$ qu'elle atteint en un temps propre fini (pour $\mu^2 > 0$)

$$\tau = \int_0^{2GM} \frac{r^{1/2} dr}{\sqrt{r(E^2/\mu^2 - 1) + 2GM}}, \quad (2.17)$$

ou un paramètre affine fini (pour $\mu^2 = 0$)

$$\lambda = \int_0^{2GM} \frac{dr}{E} = \frac{2GM}{E}. \quad (2.18)$$

La région $r < 2GM$ a donc une réalité physique (elle peut être explorée par des observateurs en chute libre) qui échappe aux observateurs extérieurs : la sphère de Schwarzschild $r = 2GM$ est un *horizon*. Cet horizon est *régulier* : on montre que le scalaire de Kretschmann $R^{\mu\nu\rho\sigma} R_{\mu\nu\rho\sigma}$ y reste fini. Par contre, les géodésiques se terminent à la singularité centrale $r = 0$, où le scalaire de Kretschmann diverge.

2.3 Coordonnées de Kruskal

Pour $r > R_S$, la signature de la métrique (2.4) est $(-+++)$. Pour $r < R_S$, la signature de cette métrique est $(+-++)$, ce qui signifie que la coordonnée radiale r est devenue de genre temps : le cône de lumière a basculé !

La ligne d'univers $r = R_S$ (à θ et φ fixés) est du genre lumière :

$$ds^2 = -f(R_S)dt^2 = 0. \quad (2.19)$$

Cette observation suggère que la transformation à des coordonnées du type "cône de lumière" pourrait régulariser la solution de Schwarzschild au voisinage de $r = R_S$.

Dans le cas de la métrique de Minkowski (en coordonnées d'espace sphériques)

$$ds^2 = -dt^2 + dr^2 + r^2 d\Omega^2, \quad (2.20)$$

la transformation aux coordonnées du cône de lumière

$$\begin{aligned} u &= t - r, \\ v &= t + r, \end{aligned} \quad (2.21)$$

conduit à la métrique

$$ds^2 = -du dv + \frac{(u-v)^2}{4} d\Omega^2. \quad (2.22)$$

Dans le cas de la métrique de Schwarzschild,

$$\begin{aligned} ds^2 &= -f dt^2 + f^{-1} dr^2 + r^2 d\Omega^2 \\ &= f(-dt^2 + dr^{*2}) + r^2 d\Omega^2 \end{aligned} \quad (2.23)$$

(r^* étant la coordonnée tortue (2.16)), la transformation de coordonnées

$$\begin{aligned} u &= t - r^*, \\ v &= t + r^*, \end{aligned} \quad (2.24)$$

conduit à

$$ds^2 = -f du dv + r^2 d\Omega^2, \quad (2.25)$$

où f et r^2 sont exprimés en fonction de u et v .

Effectuons maintenant dans le plan (u, v) la transformation conforme

$$(u, v) \longrightarrow (U = -F(-u), V = F(v)). \quad (2.26)$$

La métrique (2.25) devient

$$ds^2 = -\frac{f}{F'(-u)F'(v)} dU dV + r^2 d\Omega^2. \quad (2.27)$$

Le choix

$$F(v) = 4GM e^{v/4GM} \quad (2.28)$$

conduit à

$$\begin{aligned} \frac{f}{F'(-u)F'(v)} &= e^{(u-v)/4GM} \left(1 - \frac{2GM}{r}\right) = e^{-r^*/2GM} \left(1 - \frac{2GM}{r}\right) \\ &= e^{-r/2GM} \frac{2GM}{|r-2GM|} \frac{r-2GM}{r} = \frac{2GM}{r} e^{-r/2GM}, \end{aligned} \quad (2.29)$$

où nous avons utilisé (2.16), et supposé $r > 2GM$. Dans une dernière étape, repassons des coordonnées du cône de lumière U, V à des coordonnées 2-minkowskiennes (T, R) ,

$$\begin{aligned} U &= T - R, \\ V &= T + R, \end{aligned} \quad (2.30)$$

pour aboutir à la forme de Kruskal de la solution de Schwarzschild

$$ds^2 = \frac{2GM}{r} e^{-r/2GM} (-dT^2 + dR^2) + r^2 d\Omega^2, \quad (2.31)$$

qui est régulière en $r = 2GM$! Nous avons donc, comme annoncé, éliminé la singularité de Schwarzschild par une transformation de coordonnées.

Quand r varie de $2GM$ à l'infini, la coordonnée tortue r^* varie, d'après (2.16), de $-\infty$ à $+\infty$. Donc, tandis que les coordonnées de genre lumière u et v varient chacune sur la droite réelle, le domaine des coordonnées U et V est

$$U \in R_-, \quad V \in R_+.$$

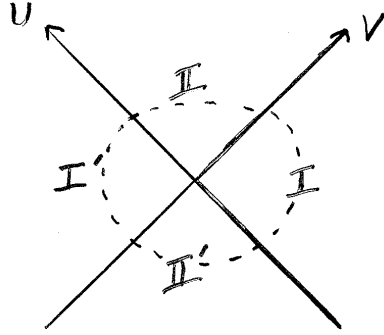


FIGURE 1 – Domaines de Kruskal

C'est le domaine I du diagramme de la figure 1.

Les frontières de ce domaine

$$\begin{array}{llll} V = 0 & (T = -R) & v = t + r^* & \rightarrow -\infty \\ U = 0 & (T = +R) & u = t - r^* & \rightarrow +\infty \end{array}$$

correspondent toutes les deux à l'horizon $r^* \rightarrow -\infty$ (à t fixé). La métrique de Kruskal (2.31) peut être prolongée à travers ces frontières, mais pas la transformation de coordonnées de Kruskal qui nous a permis de l'obtenir !

En prolongeant la métrique de Kruskal à travers la branche $U = 0$ ($V > 0$) de l'horizon, on passe dans la région II ($U > 0, V > 0$). Cette région est à l'intérieur de l'horizon, donc doit correspondre au domaine $r < 2GM$ de la métrique de Schwarzschild. Son autre frontière $V = 0$ ($U > 0$) étant à nouveau une branche de l'horizon, on peut encore prolonger la métrique de Kruskal à travers cette frontière pour passer dans une région I' ($U > 0, V < 0$) extérieure à l'horizon ($r > 2GM$). De proche en proche, on montre ainsi que la métrique de Kruskal couvre les quatre secteurs I, I' (extérieur, $r > 2GM$) et II, II' (intérieur, $r < 2GM$).

La transformation de coordonnées entre la métrique de Schwarzschild et la métrique de Kruskal peut être écrite de façon compacte (pour les quatre secteurs) :

$$U = -\epsilon F(-u), \quad V = \eta F(v) \quad (\epsilon, \eta = \pm 1). \quad (2.32)$$

Il en résulte

$$\begin{aligned} f dudv &= \epsilon \eta e^{-r^*/2GM} \left(1 - \frac{2GM}{r}\right) dU dV \\ &= \epsilon \eta \operatorname{sign}(r - 2GM) \frac{2GM}{r} e^{-r/2GM} dU dV. \end{aligned} \quad (2.33)$$

Donc la région extérieure $r > 2GM$ correspond à $\eta = \epsilon$, et la région intérieure $r < 2GM$ correspond à $\eta = -\epsilon$, comme montré sur la figure 2.

Les coordonnées de Kruskal réalisent l'*extension analytique maximale* de la solution de Schwarzschild. La carte S (Schwarzschild) est définie en dehors (à l'extérieur ou à l'intérieur) de l'horizon, pour chacun des secteurs I, I', II, II' . Elle est *bonne* pour l'observateur

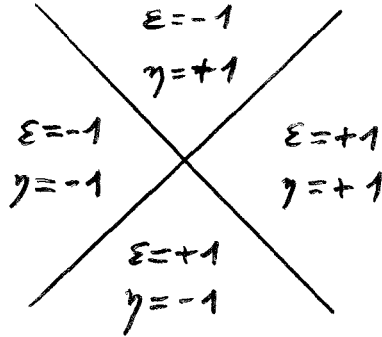


FIGURE 2 – Transformations de Kruskal (2.32) dans les 4 domaines de Kruskal

extérieur (à l'infini), mais mauvaise pour l'observateur en chute libre. La carte K (Kruskal) définie partout est *bonne* pour l'observateur en chute libre, mais mauvaise pour l'observateur extérieur. La géométrie de cet espace-temps peut être mieux visualisée à l'aide de diagrammes de Penrose.

2.4 Diagrammes de Penrose

Revenons à la métrique de Minkowski en coordonnées du cône de lumière,

$$ds^2 = -du dv + \frac{(u-v)^2}{4} d\Omega^2 \quad (u = t - r, v = t + r), \quad (2.34)$$

et faisons la transformation conforme à deux dimensions

$$u = \ell \tan p, \quad v = \ell \tan q, \quad \text{avec } -\pi/2 < (p, q) < \pi/2, \quad (2.35)$$

où ℓ est une constante. La condition $r = (v - u)/2 \geq 0$ entraîne $q \geq p$. La métrique de Minkowski (2.34) devient

$$ds^2 = \frac{\ell^2}{4 \cos^2 p \cos^2 q} \left[-4dp dq + \sin^2(p - q) d\Omega^2 \right]. \quad (2.36)$$

Puis la nouvelle transformation

$$p = \frac{\psi - \xi}{2}, \quad q = \frac{\psi + \xi}{2}, \quad (0 \leq \xi \leq \pi, \xi - \pi \leq \psi \leq \pi - \xi), \quad (2.37)$$

conduit à la métrique

$$ds^2 = \frac{\ell^2}{(\cos \psi + \cos \xi)^2} \left[-d\psi^2 + d\xi^2 + \sin^2 \xi d\Omega^2 \right]. \quad (2.38)$$

Dans le cas où $\psi \in R$, la métrique entre crochets est celle de l'univers statique d'Einstein (le produit direct de l'axe des temps par la sphère à trois dimensions S^3). La forme de la métrique

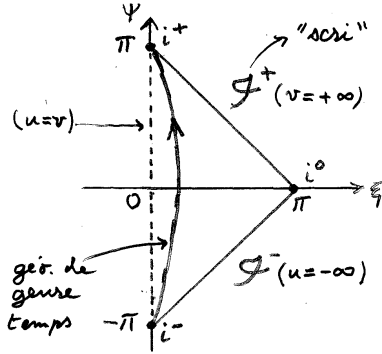


FIGURE 3 – Diagramme de Penrose de Minkowski

(2.38) montre donc que l'espace-temps de Minkowski est conforme à l'espace-temps "cylindrique" d'Einstein (avec temps ψ compactifié) avec le facteur conforme $\ell^2/(\cos \psi + \cos \xi)^2$.

Le domaine de variation des angles ψ et ξ est représenté sur le diagramme de Penrose de la Figure 3. Chaque point de ce diagramme (sauf la ligne de genre temps $\xi = 0$, qui correspond à $u = v$, donc à l'origine des coordonnées d'espace $r = 0$) est une 2-sphère. Les autres frontières Scri_+ ($\psi = \pi - \xi$, ou $v = +\infty$) et Scri_- ($\psi = \xi - \pi$, ou $u = -\infty$), ainsi que leur point d'intersection i_0 correspondent à l'infini de genre espace $r \rightarrow \infty$, tandis que leurs points d'intersection i_- et i_+ avec la droite $\xi = 0$ correspondent respectivement à l'infini passé $t \rightarrow -\infty$ et à l'infini futur $t \rightarrow +\infty$.

Les transformations conformes à deux dimensions qui nous ont permis de passer de (2.34) à (2.38) conservent le genre des géodésiques radiales (celles passant par l'origine $\xi = 0$). On montre que :

- les géodésiques quelconques de genre temps commencent à l'infini passé i_- et finissent à l'infini futur i_+ ;
- les géodésiques quelconques de genre lumière commencent à Scri_- et finissent à Scri_+ ;
- les géodésiques quelconques de genre espace commencent et finissent à l'infini d'espace i_0 .

Le diagramme de Penrose pour l'extension analytique maximale de la solution de Schwarzschild est construit de façon analogue. Partons de la métrique de Kruskal

$$ds^2 = \frac{2GM}{r} e^{-r/2GM} (-dU dV) + r^2 d\Omega^2, \quad (2.39)$$

et effectuons la transformation

$$U = 2GM \tan\left(\frac{\psi - \xi}{2}\right), \quad V = 2GM \tan\left(\frac{\psi + \xi}{2}\right). \quad (2.40)$$

La coordonnée tortue r^* variant de $-\infty$ à $+\infty$, le domaine I de Kruskal est analogue, non pas à celui de l'espace-temps de Minkowski à quatre dimensions, mais à celui de l'espace-temps de Minkowski à deux dimensions (dont la coordonnée d'espace varie entre $-\infty$ et $+\infty$). L'horizon est donc représenté par deux lignes de genre lumière symétriques de Scri_-

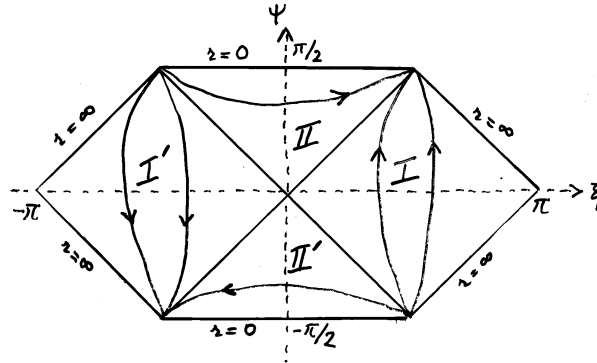


FIGURE 4 – Diagramme de Penrose de Schwarzschild

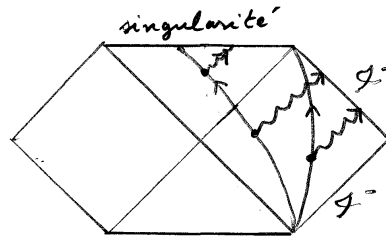


FIGURE 5 – Géodésiques dans l'espace-temps de Schwarzschild

et Scri_+ , correspondant à $V = 0$ et $U = 0$. Puis les régions intérieures II et II' sont bornées par la singularité $r = 0$ (de genre espace), qui correspond aussi, d'après (2.16) à $r^* = 0$, donc à

$$u = v \leftrightarrow UV = 1 \leftrightarrow \psi = \pm\pi/2.$$

Enfin, le diagramme de Penrose de l'espace-temps de Schwarzschild, représenté sur la Figure 4, est complété par la région extérieure I' symétrique de I . Les lignes claires sur ce diagramme correspondent à des sections $r = \text{constante}$, orientées suivant les temps t croissants.

La Figure 5 représente deux géodésiques de genre temps (lignes pleines orientées), correspondant aux lignes d'univers d'observateurs en chute libre émettant radialement des signaux lumineux (lignes ondulées orientées à 45°). Le premier observateur est en orbite ($r = \text{constante}$) autour du trou noir, et ses signaux atteignent toujours l'observateur extérieur, à l'infini Scri_+ . Le deuxième observateur n'a pas un moment angulaire suffisant pour éviter de traverser l'horizon. Après la traversée de l'horizon, sa chute sur la singularité centrale est inévitable, les seules géodésiques reliant la région I à la région I' étant de genre espace. Ses derniers signaux émis juste avant la traversée de l'horizon arrivent à Scri_+ (ou à l'observateur en orbite) au bout d'un temps infini, tandis que les signaux émis après la traversée de l'horizon aboutissent à la singularité centrale.

Cet exemple illustre la *Définition* (simplifiée) :

Un trou noir est une région de l'espace-temps d'où les particules et les photons ne peuvent pas se propager jusqu'à l'observateur extérieur Scri_+ .

2.5 Solution de Reissner-Nordström

La théorie de l'électromagnétisme couplé à la gravitation est définie par l'action d'Einstein-Maxwell (écrite en unités gravitationnelles, $G = 1$, pour la gravitation et en unités de Gauss pour l'électromagnétisme)

$$S = \frac{1}{16\pi} \int d^4x \sqrt{|g|} \left[-R + g^{\mu\rho} g^{\nu\sigma} F_{\mu\nu} F_{\rho\sigma} \right], \quad (2.41)$$

où

$$F_{\mu\nu} = D_\mu A_\nu - D_\nu A_\mu = \partial_\mu A_\nu - \partial_\nu A_\mu \quad (2.42)$$

est le tenseur champ électromagnétique. Le tenseur d'énergie-impulsion électromagnétique

$$T_{\mu\nu} = \frac{2}{\sqrt{|g|}} \frac{\delta S_m}{\delta g^{\mu\nu}} = \frac{1}{4\pi} \left[g^{\rho\sigma} F_{\mu\rho} F_{\nu\sigma} - \frac{1}{4} g_{\mu\nu} F^{\alpha\beta} F_{\alpha\beta} \right] \quad (2.43)$$

est de trace nulle,

$$T \equiv g^{\mu\nu} T_{\mu\nu} = 0 \quad (2.44)$$

(pour $D = 4$ seulement). Les équations de Maxwell et d'Einstein dérivant de l'action (2.41) sont

$$D_\nu F^{\mu\nu} = \frac{1}{\sqrt{|g|}} \partial_\nu \left(\sqrt{|g|} F^{\mu\nu} \right) = 0, \quad (2.45)$$

$$R_\mu^\nu = 2 \left(F_{\mu\rho} F^{\nu\rho} - \frac{1}{4} \delta_\mu^\nu F_{\rho\sigma} F^{\rho\sigma} \right). \quad (2.46)$$

Pour chercher les solutions électrostatiques à symétrie sphérique de ce système d'équations, nous pouvons faire l'*ansatz*

$$ds^2 = -f(r)dt^2 + f^{-1}(r)dr^2 + r^2 d\Omega^2, \quad A_\mu = \delta_\mu^0 A_0(r), \quad (2.47)$$

où $f(r)$ et $A_0(r)$ sont deux fonctions inconnues d'une seule variable. L'élément de volume dans la métrique (2.47) est $\sqrt{|g|} = r^2 \sin \theta$, donc l'équation de Maxwell (2.45) avec $\mu = 0$ s'intègre immédiatement par

$$F^{01} = \frac{e}{r^2}, \quad (2.48)$$

où la constante d'intégration e peut être identifiée à la charge électrique de la source, comme le montre le calcul du flux

$$\oint F^{0i} \sqrt{|g|} d\Sigma_i = \int \frac{e}{r^2} r^2 \sin \theta d\theta d\varphi = 4\pi e. \quad (2.49)$$

En reportant (2.48) dans le tenseur d'énergie-impulsion électromagnétique, on ramène les équations d'Einstein à

$$R_0^0 = R_1^1 = -R_2^2 = -R_3^3 = -\frac{e^2}{r^4}, \quad (2.50)$$

équations qui s'intègrent par

$$ds^2 = -\left(1 - \frac{2m}{r} + \frac{e^2}{r^2}\right) dt^2 + \left(1 - \frac{2m}{r} + \frac{e^2}{r^2}\right)^{-1} dr^2 + r^2 d\Omega^2, \quad (2.51)$$

où m est une deuxième constante d'intégration qui peut, comme dans le cas de la solution de Schwarzschild, être identifiée à la masse de la source (le potentiel newtonien à grande distance est $1 - 2m/r + O(r^{-2})$). C'est la solution obtenue par Reissner (1916) et Nordström (1918).

Ouvrons ici une parenthèse pour signaler que cette solution électrostatique a son pendant magnétostatique. On peut définir le tenseur dual du champ électromagnétique

$$F^{*\mu\nu} \equiv \frac{1}{2\sqrt{|g|}} \epsilon^{\mu\nu\rho\sigma} F_{\rho\sigma}. \quad (2.52)$$

Ce champ dual, tel que

$$\partial_\nu \left(\sqrt{|g|} F^{*\mu\nu} \right) = 0, \quad T_{\mu\nu}(F^*) = T_{\mu\nu}(F), \quad (2.53)$$

vérifie les mêmes équations d'Einstein-Maxwell que le champ électrostatique, conduisant à la solution à symétrie sphérique

$$F^{*01} = \frac{e}{r^2} \quad \longleftrightarrow \quad F_{23} = e \sin \theta, \quad (2.54)$$

avec la même métrique de Reissner-Nordström (2.51), engendrée par un monopôle magnétique e de masse m .

Si $e^2 < m^2$, la fonction $f(r)$ dans (2.51) a deux zéros en

$$r_{\pm} = m \pm \sqrt{m^2 - e^2}. \quad (2.55)$$

Donc la métrique de Reissner-Nordström a deux horizons, $r = r_+$ l'horizon événement, et $r = r_-$ l'horizon intérieur, ainsi qu'une singularité centrale en $r = 0 < r_- < r_+$.

Si $e^2 = m^2$ (solution de Reissner-Nordström extrême), la métrique de Reissner-Nordström a un horizon double, sans changement de signature.

Enfin, si $e^2 > m^2$, la métrique de Reissner-Nordström n'a pas d'horizon. On dit dans ce cas que $r = 0$ est une *singularité nue*.

Du point de vue numérique, la charge électrique élémentaire est $e = 1.38 \times 10^{-34}$ cm, extrêmement petite par rapport à la masse du Soleil $m = M_{\odot} = 1.48 \times 10^5$ cm. Donc, à l'échelle astrophysique, d'hypothétiques trous noirs chargés auraient deux horizons. A l'inverse, la masse d'une particule élémentaire chargée telle que le proton est $m_p = 1.24 \times 10^{-52}$ cm, très petite devant sa charge électrique, ce qui justifie qu'on néglige sa self-interaction gravitationnelle.

La métrique de Reissner-Nordström peut être prolongée à travers ses deux horizons (dans le cas $e^2 < m^2$), ou son horizon double (dans le cas $e^2 = m^2$), par des méthodes analogues à celles employées pour la métrique de Schwarzschild, et les diagrammes de Penrose de ses extensions analytiques maximales peuvent être construits de la même façon. Ces diagrammes sont donnés dans la Figure 6. Dans le cas $e^2 < m^2$, la région extérieure I de signature

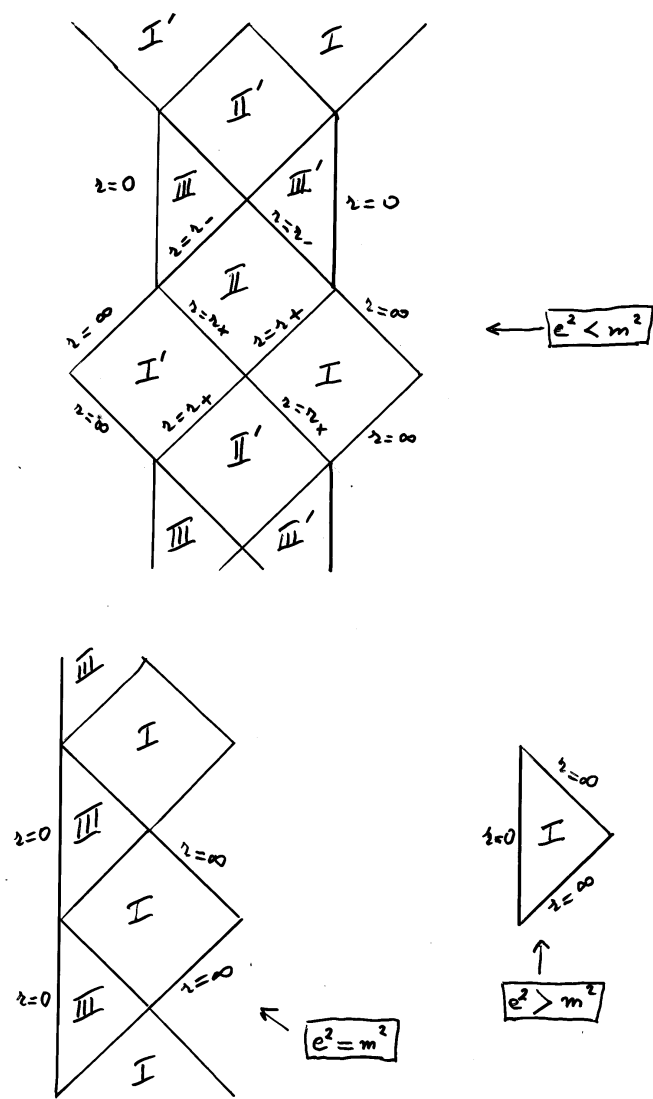


FIGURE 6 – Diagrammes de Penrose de Reissner-Nordström

($- + ++$) se prolonge à travers l'horizon événement $r = r_+$ par une région intérieure *II* de signature ($+ - ++$), qui elle-même se prolonge à travers l'horizon intérieur $r = r_-$ par une deuxième région intérieure *III* de signature ($- + ++$). La singularité centrale $r = 0$ qui limite la région *III* est donc (contrairement au cas de Schwarzschild) de genre temps. Il en résulte que le prolongement analytique maximal de la métrique de Reissner-Nordström à travers les différentes branches de ses horizons conduit à une chaîne infinie de régions *I*, *II* et *III* (les régions *II* étant absentes dans le cas $e^2 = m^2$).

2.6 Multi-trous noirs

Dans le cas non-relativiste, la force gravitationnelle (de Newton) entre deux masses

$$F_g = -\frac{GMM'}{r^2} \quad (2.56)$$

est analogue, mais de signe opposé, à la force électrostatique (de Coulomb) entre deux charges

$$F_e = \frac{QQ'}{4\pi\epsilon_0 r^2}. \quad (2.57)$$

Les particules avec $Q^2/4\pi\epsilon_0 = GM^2$ sont donc en équilibre statique entre force newtonienne attractive et force coulombienne répulsive ($F = F_g + F_e = 0$) quelle que soit leur position relative.

La relation analogue en relativité générale, $e^2 = m^2$, caractérise la solution de Reissner-Nordström extrême

$$ds^2 = -\left(\frac{r-m}{r}\right)^2 + \left(\frac{r}{r-m}\right)^2 \left[dr^2 + (r-m)^2 d\Omega^2\right]. \quad (2.58)$$

En effectuant le changement de coordonnées $r \rightarrow r+m$, la solution de RN extrême prend la forme

$$ds^2 = -\left(1 + \frac{m}{r}\right)^{-2} dt^2 + \left(1 + \frac{m}{r}\right)^2 d\vec{x}^2, \quad (2.59)$$

$$A_0 = \frac{m}{r+m}, \quad (2.60)$$

où (contrairement aux apparences) le "point" $r = 0$ est en fait une sphère (l'horizon double) d'aire $4\pi m$.

Sous cette forme, la solution de Reissner-Nordström extrême admet une généralisation multi-centres, donnée indépendamment par Majumdar (1947) et Papapetrou (1947),

$$ds^2 = -(1+\sigma)^{-2} dt^2 + (1+\sigma)^2 d\vec{x}^2, \quad (2.61)$$

$$A_0 = \frac{\sigma}{1+\sigma}, \quad (2.62)$$

les équations de Maxwell et d'Einstein étant simultanément satisfaites si le potentiel $\sigma(\vec{x})$ est harmonique,

$$\nabla^2 \sigma = 0. \quad (2.63)$$

Le laplacien figurant dans cette équation est le laplacien ordinaire sur l'espace plat de métrique "réduite" $d\vec{x}^2$ apparaissant dans (2.61). Cet opérateur étant linéaire, on peut superposer un nombre quelconque de monopôles pour obtenir une solution multi-centres (sans symétrie spatiale)

$$\sigma = \sum_i \frac{m_i}{|\vec{x} - \vec{x}_i|} \quad (2.64)$$

($m_i > 0$, \vec{x}_i quelconques) à l'extérieur des horizons $\vec{x} = \vec{x}_i$, la métrique (2.61) obtenue pouvant être prolongée à la Kruskal à l'intérieur de chaque horizon. On peut également, en prenant la limite où plusieurs "centres" $\vec{x} = \vec{x}_i$ coïncident, ajouter à cette superposition des dipôles, quadrupôles, etc.

Enfin, la solution de Majumdar-Papapetrou, qui est asymptotiquement plate, admet la généralisation non-asymptotiquement plate (NAP), obtenue en effectuant la translation $\sigma \rightarrow \sigma - 1$ (qui est encore solution de $\nabla^2 \sigma = 0$) :

$$ds^2 = -\sigma^{-2} dt^2 + \sigma^2 d\vec{x}^2, \quad A_0 = -\frac{1}{\sigma} \quad \left(\sigma = \sum_i \frac{m_i}{|\vec{x} - \vec{x}_i|} \right). \quad (2.65)$$

2.7 Solution de Bertoti-Robinson

La solution de Majumdar-Papapetrou NAP à un centre, dérivant du potentiel harmonique $\sigma = -1/er$, est

$$A_\mu dx^\mu = er dt, \quad (2.66)$$

$$ds^2 = -e^2 r^2 dt^2 + e^{-2} \frac{dr^2}{r^2} + e^{-2} d\Omega^2. \quad (2.67)$$

Cette solution appartient à une famille à un paramètre de solutions NAP à symétrie sphérique, obtenue à partir de l'ansatz

$$ds^2 = -f(r) dt^2 + f(r)^{-1} dr^2 + \ell^2 d\Omega^2 \quad (2.68)$$

(ℓ constante). L'élément de volume est maintenant $\sqrt{|g|} = \ell^2 \sin \theta$, donc la solution des équations de Maxwell est

$$F^{01} = e \quad (2.69)$$

(e constante d'intégration). En reportant dans les équations d'Einstein, on obtient le système

$$R_0^0 = R_1^1 = -R_2^2 = -R_3^3 = -e^2, \quad (2.70)$$

dont la solution [15] est

$$ds^2 = -e^2 (r^2 - b^2) dt^2 + e^{-2} \frac{dr^2}{r^2 - b^2} + e^{-2} (d\theta^2 + \sin^2 \theta d\varphi^2), \quad (2.71)$$

où $e = \ell^{-1}$, et b^2 est une constante d'intégration réelle.

L'espace-temps de métrique (2.71) (où nous pouvons choisir l'unité de longueur $e^{-1} = 1$) est le produit $AdS_2 \times S^2$ de deux espaces à courbure constante,

- une sphère S^2 , qui est la surface $x^2 + y^2 + z^2 = 1$ dans l'espace euclidien $ds^2 = dx^2 + dy^2 + dz^2$, et
- un espace d'anti-de Sitter AdS_2 , qui est la surface $x^2 + y^2 - z^2 = 1$ dans l'espace pseudo-euclidien $ds^2 = -dx^2 - dy^2 + dz^2$.

L'espace d'anti-de Sitter s'obtient donc formellement à partir de la sphère par la continuation analytique $z \rightarrow iz$, $ds^2 \rightarrow -ds^2$. En partant de la paramétrisation de la sphère en coordonnées angulaires (θ, φ) , cette continuation (qui implique la continuation $\theta \rightarrow \pi/2 - i\alpha$) conduit à la paramétrisation de AdS_2 en coordonnées hyperboliques :

$$S^2 \begin{cases} x = \sin \theta \cos \varphi \\ y = \sin \theta \sin \varphi \\ z = \cos \theta \end{cases} \longrightarrow AdS_2 \begin{cases} x = \cosh \alpha \cos \beta \\ y = \cosh \alpha \sin \beta \\ z = \sinh \alpha \end{cases}, \quad (2.72)$$

et à la métrique

$$d\sigma^2 = -\cosh^2 \alpha d\beta^2 + d\alpha^2 = -(z^2 + 1)d\beta^2 + \frac{dz^2}{z^2 + 1}, \quad (2.73)$$

qui correspond aux deux premiers termes de (2.71) avec $b^2 = -1$ (ou avec $b^2 < 0$ quelconque moyennant un changement d'échelle de z et de β).

Une autre métrique pour AdS_2 , correspondant à (2.67),

$$d\sigma^2 = -r^2 dt^2 + \frac{dr^2}{r^2}, \quad (2.74)$$

s'obtient par la paramétrisation

$$x + z = r, \quad y = tr, \quad x - z = \frac{1}{r} - t^2 r. \quad (2.75)$$

Une troisième métrique, qui ne couvre qu'une partie de AdS_2 , résulte de la paramétrisation

$$x = \cosh \alpha, \quad y = \sinh \alpha \sinh \beta, \quad z = \sinh \alpha \cosh \beta \quad (2.76)$$

($x \geq 1$). Cette métrique,

$$d\sigma^2 = -\sinh^2 \alpha d\beta^2 + d\alpha^2 = -(x^2 - 1)d\beta^2 + \frac{dx^2}{x^2 - 1}, \quad (2.77)$$

correspond à (2.71) avec $b^2 > 0$. Ceci montre que (malgré l'apparence de deux horizons en $r = \pm b$), la métrique de Bertotti-Robinson (2.71) avec $b^2 > 0$ ne décrit pas un trou noir, puisqu'une simple transformation de coordonnées permet d'obtenir son extension analytique maximale, qui est le produit de la métrique canonique (2.73) sur AdS_2 par S^2 , et est dépourvue d'horizons.

Signalons enfin que l'espace-temps de Bertotti-Robinson peut être considéré comme décrivant la géométrie près de l'horizon événement $r = m$ de la métrique de Reissner-Nordström extrême (2.58). En posant $r = m + x$ celle-ci s'écrit

$$ds^2 = -\frac{x^2}{(m+x)^2} dt^2 + (m+x)^2 \left[\frac{dx^2}{x^2} + d\Omega^2 \right], \quad (2.78)$$

et, dans la limite $x \ll m$, on retrouve (2.67) avec $e = m^{-1}$.

2.8 Solution de Kerr

Jusqu'ici, nous avons discuté des solutions statiques et à symétrie sphérique des équations d'Einstein sans source ou avec comme source un champ électro-magnétique. La solution de Kerr est une solution stationnaire, non plus à symétrie sphérique, mais à symétrie axiale, des équations d'Einstein dans le vide, dépendant de deux paramètres m et a . Elle représente le champ gravitationnel à l'extérieur d'un objet massif en rotation autour de son axe de symétrie.

On dit qu'une métrique est *stationnaire* si, dans un système de coordonnées dit adapté, les composantes du tenseur métrique sont indépendantes de la coordonnée temps,

$$ds^2 = g_{\mu\nu}(\vec{x})dx^\mu dx^\nu. \quad (2.79)$$

Dans le cas particulier des métriques statiques (2.3), les composantes mixtes g_{0i} sont nulles. Celles-ci sont non nulles dans le cas général. L'analyse des propriétés des trous noirs stationnaires est souvent facilitée par l'emploi de la paramétrisation d'Arnott-Deser-Misner (ADM), mise au point initialement pour la formulation canonique et la quantification de la relativité générale [16],

$$ds^2 = -N^2 dt^2 + h_{ij}(dx^i + N^i dt)(dx^j + N^j dt), \quad (2.80)$$

qui décompose le tenseur métrique d'espace-temps en un scalaire d'espace N (le "lapse"), un vecteur d'espace N^i (le "shift"), et un tenseur d'espace h_{ij} .

La solution de Kerr (1963) s'écrit, en coordonnées dites de Boyer-Lindquist,

$$ds^2 = -\frac{\Delta}{h^2} dt^2 + \frac{\rho^2}{\Delta} dr^2 + \rho^2 d\theta^2 + h^2 \sin^2 \theta \left(d\varphi - \frac{2amr}{\rho^2 h^2} dt \right)^2, \quad (2.81)$$

où

$$\Delta = r^2 - 2mr + a^2, \quad \rho^2 = r^2 + a^2 \cos^2 \theta, \quad h^2 = r^2 + a^2 + \frac{2mr}{\rho^2} a^2 \sin^2 \theta. \quad (2.82)$$

Pour interpréter les paramètres m et a , considérons la métrique de Kerr linéarisée (à grande distance $r \gg m, a$)

$$ds^2 \simeq -\left(1 - \frac{2m}{r}\right) dt^2 + \left(1 + \frac{2m}{r}\right) dr^2 + r^2 d\theta^2 + r^2 \sin^2 \theta d\varphi^2 - \frac{4am}{r} \sin^2 \theta d\varphi dt. \quad (2.83)$$

En posant

$$dr = \frac{x^i dx^i}{r}, \quad r^2 \sin^2 \theta d\varphi = (\vec{k} \wedge \vec{x}) \cdot d\vec{x}$$

(\vec{k} vecteur unitaire de l'axe des z), on montre que la déviation $\gamma_{\mu\nu} = g_{\mu\nu} - \eta_{\mu\nu}$ de la métrique linéarisée par rapport à la métrique de Minkowski est donnée par

$$\gamma_{00} = \frac{2m}{r}, \quad \gamma_{0i} = -\frac{2m}{r^3} (\vec{a} \wedge \vec{x})^i, \quad \gamma_{ij} = \frac{2m}{r^3} x^i x^j \quad (2.84)$$

($\vec{a} = a\vec{k}$), d'où, en appliquant les formules du 1.2.3, on obtient la masse M et le moment angulaire J du corps (par exemple une étoile) à la source de ce champ de gravitation,

$$M = m, \quad J = am. \quad (2.85)$$

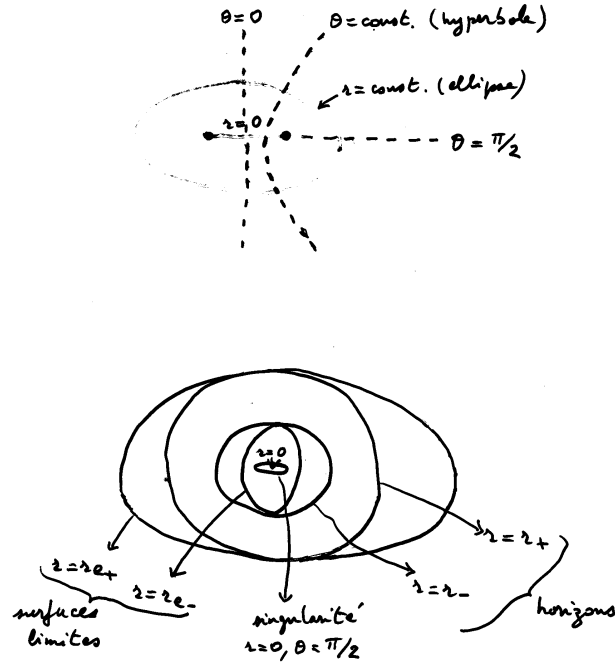


FIGURE 7 – Surfaces limites, horizons et singularité de la métrique de Kerr dans le cas $a^2 < m^2$

La composante $g_{tt} = -(1 - 2mr/\rho^2)$ du tenseur métrique s'annule sur les *surfaces limites*

$$r = r_{e\pm} \equiv m \pm \sqrt{m^2 - a^2 \cos^2 \theta}, \quad (2.86)$$

qui sont fermées si $a^2 < m^2$. Mais la métrique reste régulière sur ces surfaces, où $g_{t\varphi} = -a \sin^2 \theta \neq 0$. Par contre, la métrique de Kerr est singulière sur les *horizons* $\Delta = 0$, où le carré du lapse N^2 s'annule tandis que la composante g_{rr} du tenseur métrique diverge,

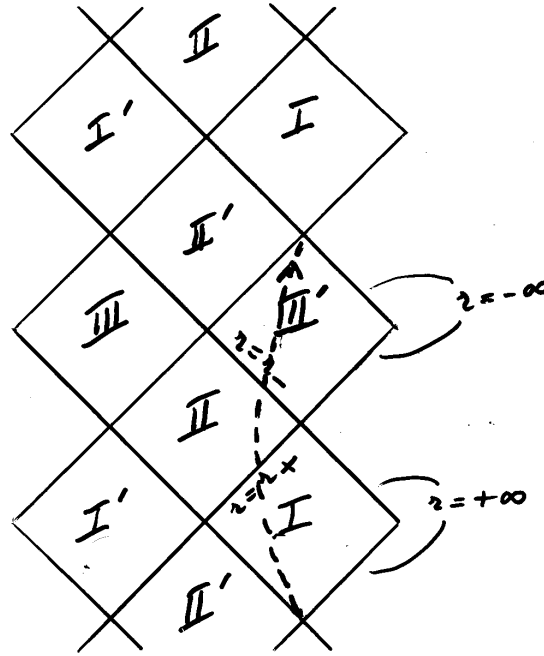
$$r = r_{\pm} \equiv m \pm \sqrt{m^2 - a^2}. \quad (2.87)$$

Le scalaire de Kretschmann reste régulier sur ces horizons. Enfin, la métrique de Kerr présente une vraie *singularité* (métrique et de courbure) pour $\rho^2 = 0$, correspondant à

$$r = 0, \quad \theta = \pi/2. \quad (2.88)$$

On peut montrer par une transformation de coordonnées que cette singularité n'est pas un point, mais plutôt un anneau (cercle) entourant le disque $r = 0$, au travers duquel la métrique de Kerr peut être prolongée vers les r négatifs. Les positions relatives des surfaces limites, des horizons et de la singularité annulaire de la métrique de Kerr sont schématisées sur la Figure 7.

La métrique de Kerr peut être prolongée à la Kruskal à travers ses deux horizons (dans le cas $a^2 < m^2$), ou son horizon double (dans le cas extrême $a^2 = m^2$). Le diagramme

FIGURE 8 – Diagramme de Penrose de Kerr dans le cas $a^2 < m^2$

de Penrose de son extension analytique maximale est donné dans la Figure 8 pour le cas $a^2 < m^2$. Ce diagramme comporte trois types de régions, empilées sous la forme d'une tour infinie :

- régions I : $r \in [r_+, \infty[$, où la signature est $(-+++)$ (une de ces régions est la région de l'observateur en Scri_+);
- régions II : $r \in [r_-, r_+]$, où la signature est $(+-++)$;
- régions III : $r \in]-\infty, r_-]$, où la signature est $(-+++)$ (ces régions contiennent le disque $r = 0$ et la singularité annulaire $r = 0, \theta = \pi/2$).

Carter a montré en 1968 [17] que le mouvement géodésique dans la métrique de Kerr est complètement intégrable. Les géodésiques non radiales de genre temps peuvent aller de la région I à la région III' en traversant successivement les deux horizons $r = r_+, r = r_-$, puis le disque $r = 0$, seules les géodésiques radiales de genre temps se terminant sur la singularité annulaire. Le diagramme de Penrose pour le cas extrême $a^2 = m^2$ s'obtient à partir du cas $a^2 < m^2$ en supprimant les régions II et II' . Enfin, dans le cas $a^2 > m^2$, la singularité annulaire est nue.

Une propriété nouvelle de l'espace-temps de Kerr (par rapport à ceux de Schwarzschild ou de Reissner-Nordström) est l'existence d'une *ergosphère*, qui est la région $r_{e-} < r < r_{e+}$, comprise entre les surfaces limites (2.86), où $g_{tt} = -N^2 + g_{\varphi\varphi}(N^\varphi)^2 > 0$. Le temps propre n'étant pas défini dans cette région, puisque $d\tau^2 = -g_{tt}dt^2 < 0$, un observateur ne peut pas rester statique (au repos) dans l'ergosphère. Mais l'observateur a la possibilité d'être

stationnaire, c'est-à-dire de tourner dans l'ergosphère à distance constante de l'horizon avec une vitesse angulaire comprise entre les limites

$$0 < \frac{2amr}{\rho^2 h^2} - \frac{\sqrt{\Delta}}{h^2 |\sin \theta|} < \Omega < \frac{2amr}{\rho^2 h^2} + \frac{\sqrt{\Delta}}{h^2 |\sin \theta|}. \quad (2.89)$$

Ces limites s'obtiennent en écrivant

$$d\tau^2 = N^2 dt^2 - g_{\varphi\varphi} (d\varphi + N^\varphi dt)^2 > 0, \quad (2.90)$$

et en remplaçant $d\varphi = \Omega dt$, d'où

$$|\Omega + N^\varphi| < \sqrt{\frac{N^2}{g_{\varphi\varphi}}} < |N^\varphi|. \quad (2.91)$$

Dans l'ergosphère, l'énergie est de genre espace, donc peut être négative. Il en résulte la possibilité d'extraire de l'énergie du trou noir de Kerr par le *processus de Penrose*. Ce processus classique peut être schématisé en trois étapes :

1. Une particule d'épreuve d'énergie E_0 tombe à l'intérieur de l'ergosphère.
2. Avant d'atteindre l'horizon, elle se désintègre en deux fragments, $E_0 = E_1 + E_2$, avec $E_1 < 0$ et $E_2 > 0$.
3. Le fragment d'énergie négative tombe dans le trou noir (avec un moment angulaire opposé à $J = Ma$), tandis que le fragment d'énergie positive repart à l'infini avec une énergie $E_2 = E_0 - E_1 > E_0$.

L'énergie maximum qu'on peut ainsi extraire du trou noir est $m[1 - \sqrt{(1 + \sqrt{1 - a^2/m^2})/2}]$. Le trou noir résiduel est statique.

Pour terminer, signalons que la théorie d'Einstein-Maxwell admet également une solution stationnaire, la solution de Kerr-Newman, correspondant à des trous noirs chargés en rotation. Ces trous noirs ont une masse M , un moment angulaire J et une charge électrique Q . On montre par ailleurs que ce sont les seules observables d'un trou noir pouvant être mesurées par un observateur extérieur.

2.9 Thermodynamique des trous noirs

Bien qu'il s'agisse d'un processus quantique, nous mentionnerons rapidement le *rayonnement de Hawking*, qui joue un rôle important dans la physique des trous noirs à l'échelle cosmologique. Ce processus consiste en la création de paires particule-antiparticule dans le champ gravitationnel extérieur du trou noir, au niveau de l'horizon. L'antiparticule tombe dans le trou noir sous la forme d'une particule d'énergie négative, qui diminue donc la masse du trou noir, tandis que la particule (par exemple un photon) d'énergie positive part à l'infini, sous la forme de rayonnement.

Le calcul semi-classique effectué par Hawking [11] dans le cas du trou noir de Schwarzschild montre que le spectre de l'énergie ainsi rayonnée est celui du rayonnement d'un corps noir, à la température de Hawking

$$T_H = \frac{\hbar c^3}{k} \frac{1}{8\pi GM} = 6 \times 10^{-8} \frac{M_\odot}{M} \text{ } ^\circ K. \quad (2.92)$$

Les trous noirs de température supérieure à la température du rayonnement de fond cosmologique, $T_H > 2.7^\circ K$, soit $M < 2 \times 10^{-8} M_\odot \simeq M_{lune}$ rayonnent et perdent graduellement de leur masse. Les trous noirs plus lourds sont stables vis-à-vis du processus de Hawking.

L'énergie rayonnée par l'horizon du trou noir peut être calculée à l'aide de la loi de Stefan :

$$\frac{d(Mc^2)}{dt} = \sigma T_H^4 \times 4\pi r_h^2 \propto M^{-2}. \quad (2.93)$$

Il en résulte la durée de vie d'un trou noir,

$$\tau \approx 10^{58} \left(\frac{M}{M_\odot} \right)^3 \text{ ans}. \quad (2.94)$$

Un trou noir primordial (créé aux premiers instants de l'Univers) doit, pour être observable aujourd'hui, avoir eu une durée de vie supérieure à, ou de l'ordre de, l'âge de l'Univers 10^{10} ans, ce qui donne pour les mini-trous noirs primordiaux la limite inférieure de masse initiale $M > 10^{-16} M_\odot$ (10^{14} kg).

Les trous noirs chargés en rotation sont donc des corps obéissant aux *lois de la thermodynamique*. La première loi, qui établit une relation entre les variations des observables du trou noir, est particulièrement importante :

Première loi : *Les variations des paramètres du trou noir sont reliées par*

$$\delta M = T_H \delta S + \Omega_h \delta J + V_h \delta Q, \quad (2.95)$$

où

$$S = \frac{kc^3}{\hbar} \frac{4\pi r_h^2}{4G} \quad (2.96)$$

est l'entropie du trou noir [18], $\Omega_h = -N^\varphi(r_h)$ est la vitesse angulaire de l'horizon, et $V_h = A_0(r_h)$ est le potentiel électrique de l'horizon.

La deuxième loi, $\delta S \geq 0$, entraîne qu'au niveau classique (donc abstraction faite du rayonnement de Hawking) la somme des aires des horizons des trous noirs, donc l'énergie totale contenue dans les trous noirs de l'Univers, ne peut que croître, par accréation de matière par les trous noirs. Cette croissance est évidemment contrebalancée par l'évaporation de Hawking.

3 Modèles sigma

Après cette revue de différentes solutions stationnaires des équations d'Einstein et d'Einstein-Maxwell, nous allons montrer comment ces solutions peuvent être reliées entre elles par des transformations appartenant à un groupe de symétrie caché du système d'équations des champs.

3.1 Vecteurs de Killing

On dit qu'une transformation de coordonnées $x \rightarrow x'$ est une *isométrie* de la métrique $g_{\mu\nu}(x)$ si

$$g'_{\mu\nu}(x') \equiv \frac{\partial x^\alpha}{\partial x'^\mu} \frac{\partial x^\beta}{\partial x'^\nu} g_{\alpha\beta}(x) = g_{\mu\nu}(x'). \quad (3.1)$$

Dans le cas d'une transformation de coordonnées infinitésimale,

$$x'^\mu = x^\mu + \varepsilon \xi^\mu(x) \quad (|\varepsilon| \ll 1), \quad (3.2)$$

les éléments de la matrice de transformation de coordonnées se réduisent à

$$\frac{\partial x^\alpha}{\partial x'^\mu} = \delta^\alpha_\mu - \varepsilon \partial_\mu \xi^\alpha, \quad (3.3)$$

et la définition de l'isométrie (3.1) se réduit à

$$\partial_\mu \xi^\lambda g_{\lambda\nu} + \partial_\nu \xi^\lambda g_{\mu\lambda} + \partial_\lambda g_{\mu\nu} \xi^\lambda = 0, \quad (3.4)$$

qui se traduit en termes de dérivées covariantes par

$$D_\mu \xi_\nu + D_\nu \xi_\mu = 0. \quad (3.5)$$

On dit que $\xi_\mu(x)$ est un champ de *vecteurs de Killing* de la métrique $g_{\mu\nu}(x)$, et on associe à ce champ de vecteurs l'opérateur dérivation

$$J[\xi](x) \equiv \xi^\mu(x) \partial_\mu,$$

qui est proportionnel au générateur de l'isométrie infinitésimale

$$[\varepsilon J[\xi](x), x^\mu] = \varepsilon \xi^\mu(x), \quad (3.6)$$

que, par abus de langage, nous appellerons aussi vecteur de Killing.

3.2 Réduction des équations d'Einstein stationnaires

La notion de vecteur de Killing nous permet de définir de façon covariante une métrique stationnaire comme une métrique possédant un champ de vecteurs de Killing $\xi_\mu(x)$ de genre temps,

$$|\xi|^2 \equiv g_{\mu\nu} \xi^\mu \xi^\nu < 0. \quad (3.7)$$

On retrouve la définition des métriques stationnaires donnée précédemment dans le cas où $\xi = \partial_t$. En effet, dans ce cas les transformations infinitésimales engendrées par ξ sont les translations dans la variable t , qui est bien le temps car $g_{tt} < 0$.

Considérons la gravitation d'Einstein sans source avec un vecteur de Killing de genre temps. De même qu'on peut décomposer le champ électro-magnétique $F_{\mu\nu}$ en un vecteur d'espace $F_{0i} = E_i$ (champ électrique) et un pseudo-vecteur d'espace $F_{ij} = \epsilon_{ijk} B^k$ (champ magnétique), on peut toujours décomposer le tenseur métrique $g_{\mu\nu}$ (tenseur symétrique $4 \times$

4, donc 10 composantes) en un scalaire d'espace $g_{00} = -f$ (potentiel gravélectrique), un vecteur d'espace $g_{0i} = -f\mathcal{A}_i$ (\mathcal{A}_i potentiel vecteur gravimagnétique) et un tenseur d'espace $g_{ij} = (f^{-1}h_{ij} - f\mathcal{A}_i\mathcal{A}_j)dx^i dx^j$ ($10 = 1 + 3 + 6$). Sous forme compacte,

$$ds^2 = -f(dt + \mathcal{A}_i dx^i)^2 + f^{-1}h_{ij}dx^i dx^j, \quad (3.8)$$

où $i, j = 1, 2, 3$, et les champs f , \mathcal{A}_i et h_{ij} dépendent seulement des coordonnées d'espace x^k . Cette décomposition (à ne pas confondre avec la décomposition ADM) est souvent appelée "réduction de Kaluza-Klein" de quatre à trois dimensions (par analogie avec la réduction de cinq à quatre dimensions).

Les dix équations d'Einstein $R_\mu^\nu = 0$ se décomposent de même en équations scalaire d'espace, vectorielle d'espace et tensorielle d'espace. Commençons par l'équation vectorielle $R_0^i = 0$. Elle s'écrit

$$D_j(f^2 \mathcal{F}^{ij}) = \frac{1}{\sqrt{|h|}} \partial_j(\sqrt{|h|} f^2 \mathcal{F}^{ij}) = 0, \quad (3.9)$$

où

$$\mathcal{F}_{ij} \equiv D_i \mathcal{A}_j - D_j \mathcal{A}_i = \partial_i \mathcal{A}_j - \partial_j \mathcal{A}_i, \quad (3.10)$$

D_i est la dérivée covariante à trois dimensions définie par rapport à la métrique réduite h_{ij} , les indices sont élevés par la métrique réduite inverse h^{ij} , et $h = \det(h_{ij})$. L'équation (3.9), analogue (au $\sqrt{|h|}f^2$ près) à l'équation de Maxwell sans source $\partial_j F^{ij} = 0$ ($\nabla \wedge \vec{B} = 0$), peut être écrite symboliquement

$$\nabla \wedge (f^2 \nabla \wedge \vec{\mathcal{A}}) = 0, \quad (3.11)$$

où $\nabla \wedge$ est l'opérateur rotationnel covariant (voir équation (3.13)). Elle est résolue par

$$\nabla \wedge \vec{\mathcal{A}} = f^{-2} \nabla \omega, \quad (3.12)$$

ou explicitement

$$\frac{1}{\sqrt{|h|}} \epsilon^{ijk} \partial_j \mathcal{A}_k = f^{-2} h^{il} \partial_l \omega. \quad (3.13)$$

Cette *équation de dualité* nous permet de remplacer le potentiel vecteur gravimagnétique \mathcal{A} par le potentiel scalaire de *twist* ω qui, par sa définition (3.12), vérifie l'équation

$$\nabla(f^{-2} \nabla \omega) = 0. \quad (3.14)$$

L'équation scalaire $R_{00} = 0$ s'écrit

$$\nabla(f^{-2} \nabla f) = -f^{-3} [(\nabla f)^2 + (\nabla \omega)^2]. \quad (3.15)$$

Enfin, l'équation tensorielle $R^{ij} = 0$ s'écrit

$$R_{(3)ij} = \frac{1}{2f^2} \left(\partial_i f \partial_j f + \partial_i \omega \partial_j \omega \right), \quad (3.16)$$

où $R_{(3)ij}$ est le tenseur de Ricci pour la métrique réduite h_{ij} .

Les trois équations (3.14), (3.15) et (3.16) dérivent de l'action réduite

$$S_{(3)} = \int d^3x \sqrt{|h|} \left[-R_{(3)} + G_{AB}(X) \partial_i X^A \partial_j X^B h^{ij} \right], \quad (3.17)$$

où G_{AB} est la métrique de l'espace cible \mathcal{T} (espace des potentiels X^A)

$$dS^2 \equiv G_{AB} dX^A dX^B = \frac{1}{2f^2} (df^2 + d\omega^2). \quad (3.18)$$

Le deuxième terme de l'action effective (3.17) caractérise un modèle sigma (non-linéaire). La théorie d'Einstein sans source à quatre dimensions (E4) avec un vecteur de Killing se réduit donc à un modèle sigma couplé à la gravitation à trois dimensions².

Quelles sont les symétries manifestes de l'espace cible ? L'invariance de E4 par les difféomorphismes à quatre dimensions a été brisée par la réduction à trois dimensions. Il subsiste, outre les difféomorphismes à trois dimensions et les translations dans le temps, les dilatations combinées

$$t \rightarrow \alpha^{-1}t, \quad f \rightarrow \alpha^2 f, \quad \omega \rightarrow \alpha^2 \omega,$$

qui laissent invariant l'ansatz métrique (3.8). Ces dilatations (qu'on peut, par analogie avec l'électromagnétisme, qualifier de "transformations de jauge") sont engendrées par le vecteur de Killing de \mathcal{T}

$$M = 2(f\partial_f + \omega\partial_\omega). \quad (3.19)$$

L'ansatz (3.8) est également invariant sous les transformations de jauge $t \rightarrow t + \phi(\vec{x})$, $\mathcal{A}_i(\vec{x}) \rightarrow \mathcal{A}_i(\vec{x}) - \partial_i \phi(\vec{x})$, qui ne modifient pas (voir (3.12)) les twists $\omega(\vec{x})$. Mais il est aussi évidemment invariant sous les translations de ω , engendrées par le vecteur de Killing

$$N = \partial_\omega. \quad (3.20)$$

En plus de ces symétries manifestes, la résolution des équations de Killing pour la métrique (3.18) montre qu'elle admet également une *symétrie cachée*, engendrée par le vecteur de Killing

$$L = (\omega^2 - f^2)\partial_\omega + 2\omega f\partial_f. \quad (3.21)$$

Il est facile de vérifier que les trois vecteurs de Killing L , M et N engendrent l'algèbre de Lie associée au groupe $SL(2, R)$:

$$\begin{aligned} [M, N] &= -2N, \\ [M, L] &= 2L, \\ [N, L] &= M. \end{aligned} \quad (3.22)$$

On montre que \mathcal{T} est l'espace symétrique (ou coset) $SL(2, R)/SO(2)$ ³, où $H = SO(2)$ est le sous-groupe d'isotropie (groupe des transformations préservant un point donné X_0^A

2. Une bonne introduction aux modèles sigma autogravitants peut être trouvée dans [19].

3. Le groupe $SL(2, R)$ est localement isomorphe au groupe $SU(1, 1)$. Il en résulte que \mathcal{T} peut aussi être identifié au coset $SU(1, 1)/S[U(1) \times U(1)]$.

de T) du groupe $G = SL(2, R)$. La dimension de cet espace est $3 (\dim[SL(2, R)]) - 1 (\dim[SO(2)]) = 2$.

Un exemple géométrique simple d'espace symétrique G/H est celui de la sphère S^2 . La sphère (qu'on peut se représenter comme plongée dans l'espace euclidien à trois dimensions) est globalement invariante par les rotations qui forment le groupe $SO(3)$. Parmi ces transformations, celles qui préservent un point donné sont les rotations autour de l'axe passant par ce point (et le point antipode), qui forment le sous-groupe d'isotropie $SO(2)$. Et la sphère S^2 est l'espace symétrique $SO(3)/SO(2)$. Un autre exemple d'espace symétrique est fourni par $AdS_2 = SO(2, 1)/SO(1, 1)$.

3.3 Représentant matriciel

Au point de coordonnées (f, ω) du coset $SL(2, R)/SO(2)$, on peut associer la matrice 2×2 réelle, symétrique, unimodulaire (de déterminant unité), dite *représentant matriciel*

$$\mathcal{M}[f, \omega] = \begin{pmatrix} f + f^{-1}\omega^2 & -f^{-1}\omega \\ -f^{-1}\omega & f^{-1} \end{pmatrix}, \quad (3.23)$$

qui permet d'écrire la métrique (3.18) sous la forme

$$dS^2 = \frac{1}{4} \text{Tr}(\mathcal{M}^{-1} d\mathcal{M} \mathcal{M}^{-1} d\mathcal{M}), \quad (3.24)$$

tandis que les équations (3.14), (3.15) et (3.16) s'écrivent

$$\nabla(\mathcal{M}^{-1} \nabla \mathcal{M}) = 0, \quad (3.25)$$

$$R_{(3)ij} = \frac{1}{4} \text{Tr}(\mathcal{M}^{-1} \partial_i \mathcal{M} \mathcal{M}^{-1} \partial_j \mathcal{M}). \quad (3.26)$$

Il est clair que ces équations sont invariantes ($h'_{ij} = h_{ij}$) sous les transformations globales du groupe $G = SL(2, R)$ agissant bilinéairement sur \mathcal{M}

$$\mathcal{M}(\vec{x}) \rightarrow \mathcal{M}'(\vec{x}) = P \mathcal{M}(\vec{x}) P^T, \quad (3.27)$$

où P est une matrice réelle unimodulaire, et P^T la matrice transposée. Donc, en faisant agir sur une solution des équations d'Einstein, écrite sous la forme $(h_{ij}(\vec{x}), \mathcal{M}(\vec{x}))$, une transformation $P \in G$ on obtient une nouvelle solution des équations d'Einstein.

Les transformations infinitésimales sont de la forme $P = 1 + \varepsilon j$, où j appartient à la représentation matricielle de l'algèbre de Lie $sl(2, R)$. La condition $\det P = 1$ implique que la matrice j (matrice réelle 2×2) est de trace nulle. On peut vérifier que ceci entraîne

$$j^T = K j K, \quad K = \begin{pmatrix} 0 & 1 \\ -1 & 0 \end{pmatrix}, \quad (3.28)$$

avec $K^2 = -1$. L'action d'une telle transformation infinitésimale sur \mathcal{M} conduit à $\mathcal{M}' = \mathcal{M} + \delta \mathcal{M}$ avec

$$\delta(\mathcal{M}K) = [\varepsilon j, \mathcal{M}K]. \quad (3.29)$$

Par construction, cette transformation est une isométrie infinitésimale de la métrique (3.18), donc a aussi

$$\delta(\mathcal{MK}) = [\varepsilon J, \mathcal{MK}] , \quad (3.30)$$

où J est le correspondant de j dans l'algèbre des opérateurs dérivations (vecteurs de Killing de \mathcal{T}). On peut vérifier que les représentants matriciels des opérateurs L , M et N ,

$$l = \begin{pmatrix} 0 & 0 \\ 1 & 0 \end{pmatrix}, \quad m = \begin{pmatrix} 1 & 0 \\ 0 & -1 \end{pmatrix}, \quad n = \begin{pmatrix} 0 & -1 \\ 0 & 0 \end{pmatrix} \quad (3.31)$$

obéissent aux relations de commutation de l'algèbre (3.22).

Quelles sont les transformations qui préservent le comportement asymptotique ? L'espace-temps à quatre dimensions de métrique (3.8) est asymptotiquement plat si l'espace réduit à trois dimensions est asymptotiquement plat ($R_{(3)ij}(\infty) = 0$)⁴ et si $f(\infty) = f_0$ (constante) et $\mathcal{A}_i(\vec{x}) \rightarrow 0$ suffisamment vite quand $|\vec{x}| \rightarrow \infty$, conduisant à $\omega(\infty) = \omega_0$ (constante). Les transformations qui préservent le comportement asymptotique sont donc celles qui laissent invariant un point donné (f_0, ω_0) . En utilisant les transformations de jauge M et N on peut toujours se ramener ("fixer la jauge") aux conditions

$$f(\infty) = 1, \quad \omega(\infty) = 0 \quad \longleftrightarrow \quad \mathcal{M}(\infty) = \begin{pmatrix} 1 & 0 \\ 0 & 1 \end{pmatrix}. \quad (3.32)$$

Il est facile de voir que ces conditions sont préservées par la transformation infinitésimale

$$L + N = (1 - f^2 + \omega^2)\partial_\omega + 2\omega f\partial_f \quad \longleftrightarrow \quad l + n = \begin{pmatrix} 0 & -1 \\ 1 & 0 \end{pmatrix}, \quad (3.33)$$

qui engendre le groupe d'isotropie $H = SO(2)$.

L'action (3.27) d'une transformation finie de $SO(2)$,

$$P = e^{\alpha(l+n)} = \begin{pmatrix} \cos \alpha & -\sin \alpha \\ \sin \alpha & \cos \alpha \end{pmatrix}. \quad (3.34)$$

sur la solution de Schwarzschild $f_0 = 1 - 2m_0/r_0$, $\omega_0 = 0$, conduit à une solution (f, ω) avec un potentiel de twist monopolaire (à symétrie sphérique) non nul, qui donne après dualisation inverse (résolution de l'équation (3.12)) un potentiel gravimagnétique monopolaire $\mathcal{A}_\varphi = 2\ell \cos \theta$. La solution obtenue est la solution de Taub-NUT

$$ds^2 = -f(r)(dt + 2\ell \cos \theta d\varphi)^2 + f^{-1}(r) dr^2 + (r^2 + \ell^2) d\Omega^2, \quad (3.35)$$

$$f(r) = \frac{r^2 - 2mr - \ell^2}{(r^2 + \ell^2)^2},$$

où $r = r_0 - 2m_0 \sin^2 \alpha$, et la masse et la charge NUT sont reliées à la masse de Schwarzschild par

$$m = m_0 \cos 2\alpha, \quad \ell = m_0 \sin 2\alpha \quad (m^2 + \ell^2 = m_0^2). \quad (3.36)$$

4. A trois dimensions, le tenseur de Riemann et le tenseur de Ricci ont le même nombre (6) de composantes indépendantes, donc $R_{ij} = 0 \Rightarrow R^i{}_{jkl} = 0$.

Cette solution est une curiosité mathématique sans signification physique car, comme le monopôle magnétique de Dirac, elle est singulière le long d'une "corde"⁵ allant de l'origine $r = 0$ à l'infini, et n'est donc pas vraiment asymptotiquement plate.

3.4 Solutions dépendant d'un seul potentiel

Revenons à l'action réduite, écrite pour un espace cible \mathcal{T} quelconque,

$$S_{(3)} = \int d^3x \sqrt{|h|} \left[-R_{(3)} + G_{AB}(X) \nabla X^A \cdot \nabla X^B \right]. \quad (3.37)$$

Les équations d'Euler-Lagrange pour les champs $X^A(\vec{x})$ s'écrivent

$$\nabla_{(h)}^2 X^A + \Gamma_{BC}^A(X) \nabla X^B \nabla X^C = 0, \quad (3.38)$$

où $\nabla_{(h)}^2$ est le Laplacien covariant pour la métrique réduite h_{ij} . Cherchons à résoudre ces équations dans le cas où les X^A dépendent d'un seul potentiel scalaire $\sigma(x)$,

$$X^A(\vec{x}) = X^A[\sigma(\vec{x})]. \quad (3.39)$$

En reportant (3.39) dans (3.38), on obtient

$$[\dot{X}^A + \Gamma_{BC}^A \dot{X}^B \dot{X}^C] (\nabla \sigma)^2 + \dot{X}^A \nabla_{(h)}^2 \sigma = 0, \quad (3.40)$$

Cette équation étant du type $\nabla_{(h)}^2 \sigma = f(\sigma)(\nabla \sigma)^2$, on peut par une reparamétrisation $\sigma \rightarrow \sigma'[\sigma]$ se ramener au système

$$\nabla_{(h)}^2 \sigma = 0, \quad (3.41)$$

$$\ddot{X}^A + \Gamma_{BC}^A \dot{X}^B \dot{X}^C = 0 \quad (3.42)$$

On reconnaît dans cette dernière équation l'équation des géodésiques de l'espace cible.

En termes du représentant matriciel $\mathcal{M}[\sigma(\vec{x})]$, l'équation géodésique est l'équation (3.25) qui s'écrit, compte tenu de (3.41),

$$\nabla(\mathcal{M}^{-1} \nabla \mathcal{M}) = \frac{d}{d\sigma} \left[\mathcal{M}^{-1} \frac{d\mathcal{M}}{d\sigma} \right] (\nabla \sigma)^2 = 0. \quad (3.43)$$

Cette équation différentielle matricielle s'intègre par

$$\mathcal{M}(\vec{x}) = \eta e^{A\sigma(\vec{x})}, \quad (3.44)$$

où $\sigma(\vec{x})$ est une fonction h -harmonique, et les matrices constantes $A \in \text{Lie}(G)$ et η doivent remplir certaines conditions pour que (3.44) soit bien un représentant matriciel du coset G/H .

5. En fait, la métrique (3.35) est singulière sur les deux demi-droites $\theta = 0$ et $\theta = \pi$, mais on peut se ramener à une seule demi-droite singulière par la transformation de coordonnées $dt \rightarrow dt + 2\ell d\varphi$.

Par exemple, dans le cas de E4, les conditions d'unimodularité et de symétrie de \mathcal{M} entraînent que η est unimodulaire et symétrique, et

$$\text{Tr}A = 0, \quad A^T \eta - \eta A = K \{A, K\eta\} = 0 \quad (3.45)$$

(A anticommute avec $K\eta$). Enfin, dans le cas où $\sigma(\infty) = 0$, alors $\eta = \mathcal{M}_\infty$.

Il ne nous reste plus qu'à résoudre les équations (3.41) et (3.26), qui s'écrivent

$$\partial_i(\sqrt{|h|}h^{ij}\partial_j\sigma) = 0, \quad (3.46)$$

$$R_{(3)ij} = \frac{1}{4}\text{Tr}(A^2)\partial_i\sigma\partial_j\sigma. \quad (3.47)$$

Nous avons donc ramené le problème à celui d'un champ scalaire de masse nulle couplé à la gravitation à trois dimensions avec une constante de couplage proportionnelle à $\text{Tr}(A^2)$. Cette méthode peut par exemple être appliquée à la construction de solutions à symétrie sphérique.

Une autre application intéressante est la construction de *solutions multi-centres*. Le long d'une géodésique de \mathcal{T} paramétrisée par $\sigma(\vec{x})$, l'élément de longueur (3.24) s'écrit

$$dl^2 = \frac{1}{4}\text{Tr}(A^2) d\sigma^2. \quad (3.48)$$

Donc le genre de la géodésique dépend du signe de $\text{Tr}(A^2)$. Dans le cas de E4, la métrique (3.18) n'admet que des géodésiques de genre espace. Plus généralement, si la métrique de l'espace cible n'est pas définie positive, elle admet aussi des géodésiques de genre temps, ainsi que des géodésiques de genre lumière caractérisées par

$$\text{Tr}(A^2) = 0. \quad (3.49)$$

Alors, $R_{(3)ij} = 0$, donc l'espace réduit à trois dimensions est plat (voir la note 4). Dans le cas où cet espace est l'espace euclidien \mathbb{R}^3 , l'équation (3.46) est l'équation de Laplace ordinaire, admettant les solutions multi-centres

$$\sigma(\vec{x}) = \sum_i \frac{m_i}{|\vec{x} - \vec{x}_i|}. \quad (3.50)$$

Le problème de la construction de solutions multi-centres pour le modèle sigma autogravitant considéré se ramène donc à la construction de matrices A remplissant les conditions mentionnées après (3.44) et la condition supplémentaire (3.49). Cette méthode a permis de retrouver les solutions de Majumdar-Papapetrou (2.61) de la théorie d'Einstein-Maxwell [20], et de construire les solutions multi-centres de la théorie d'Einstein à cinq dimensions [21] (voir sous-section 3.8). Elle a également été généralisée au cas de solutions multi-centres dépendant de plusieurs potentiels [21, 20].

3.5 Einstein-Maxwell

Dans le cas de la théorie d'Einstein-Maxwell avec un vecteur de Killing de genre temps (EM4), le tenseur métrique peut à nouveau être réduit de quatre à trois dimensions par

$$ds^2 = -f(dt + \mathcal{A}_i dx^i)^2 + f^{-1}h_{ij}dx^i dx^j. \quad (3.51)$$

Le champ électrostatique $E_i = -F_{i0}$ et le champ magnétostatique sans source

$$B_i = F_{i0}^* = \frac{\sqrt{|h|}}{2f} \epsilon_{ijk} F^{jk} \quad (3.52)$$

dérivent de potentiels scalaires v et u ;

$$\vec{E} = -\nabla v, \quad \vec{B} = \nabla u. \quad (3.53)$$

La composante vectorielle d'espace des équations d'Einstein avec source (2.46)

$$R_0^i = 2F_{0j} F^{ij} = f [\nabla \wedge (u\nabla v - v\nabla u)]^i \quad (3.54)$$

s'intègre par

$$f^2 \nabla \wedge \vec{A} + 2(u\nabla v - v\nabla u) = \nabla \chi, \quad (3.55)$$

où le potentiel de twist χ généralise le ω du cas sans source (équation (3.12)).

Les quatre potentiels scalaires f , χ , v et u peuvent être regroupés en deux potentiels complexes, dits potentiels d'Ernst,

$$\mathcal{E} = f + i\chi - \bar{\psi}\psi, \quad \psi = v + iu. \quad (3.56)$$

On montre alors que les équations stationnaires d'Einstein-Maxwell restantes (ainsi que les conditions d'intégrabilité pour les équations de dualité définissant les potentiels magnétique u et gravimagnétique χ) se réduisent aux *équations d'Ernst* [22]

$$\begin{aligned} f\nabla^2 \mathcal{E} &= \nabla \mathcal{E} \cdot (\nabla \mathcal{E} + 2\bar{\psi}\psi), \\ f\nabla^2 \psi &= \nabla \psi \cdot (\nabla \mathcal{E} + 2\bar{\psi}\psi), \\ f^2 R_{(3)ij} &= \frac{1}{2} (\mathcal{E}_{,i} + 2\bar{\psi}\psi_{,i})(\mathcal{E}_{,j} + 2\psi\bar{\psi}_{,j}) - 2f\psi_{,i}\bar{\psi}_{,j} \end{aligned} \quad (3.57)$$

($_{,i} \equiv \partial_i$, $(ij) \equiv \frac{1}{2}(ij + ji)$), avec

$$f = \text{Re } \mathcal{E} + \bar{\psi}\psi. \quad (3.58)$$

Ces équations sont à nouveau celles d'un modèle sigma couplé à la gravitation à trois dimensions, avec cette fois un espace cible à quatre dimensions. L'ensemble de leurs invariances (manifestes et cachées) forme le groupe à 8 paramètres $SU(2, 1)$, l'espace cible étant le coset

$$\begin{aligned} \mathcal{T} &= SU(2, 1)/S[U(1, 1) \times U(1)]. \\ (\text{dim : } 4 &= 8 - 4) \end{aligned} \quad (3.59)$$

Un point de ce coset peut être représenté par la matrice unitaire et unimodulaire

$$\mathcal{M}(\mathcal{E}, \psi) = f^{-1} \begin{pmatrix} 1 & \sqrt{2}\psi & \frac{i}{2}(\bar{\mathcal{E}} - \mathcal{E} + 2\bar{\psi}\psi) \\ \sqrt{2}\bar{\psi} & -\frac{1}{2}(\bar{\mathcal{E}} + \mathcal{E} - 2\bar{\psi}\psi) & -i\sqrt{2}\mathcal{E}\bar{\psi} \\ \frac{i}{2}(\bar{\mathcal{E}} - \mathcal{E} - 2\bar{\psi}\psi) & i\sqrt{2}\bar{\mathcal{E}}\psi & \mathcal{E}\bar{\mathcal{E}} \end{pmatrix}. \quad (3.60)$$

3.6 De Schwarzschild à Reissner-Nordström

Une représentation plus simple à utiliser est la représentation de Kinnersley [23]. On introduit trois potentiels complexes U, V, W , reliés aux potentiels d'Ernst par

$$\mathcal{E} = \frac{U - W}{U + W}, \quad \psi = \frac{V}{U + W}, \quad (3.61)$$

conduisant à

$$f = \operatorname{Re} \mathcal{E} + \bar{\psi}\psi = \frac{|U|^2 + |V|^2 - |W|^2}{|U + W|^2}. \quad (3.62)$$

La redondance de cette paramétrisation (trois potentiels complexes = six potentiels réels, au lieu de quatre initialement) n'est qu'apparente, les potentiels de Kinnersley n'étant définis par (3.61) qu'à une dilatation complexe

$$(U, V, W) \rightarrow \xi(U, V, W) \quad (\xi \in \mathbb{C}) \quad (3.63)$$

près. Le groupe $SU(2, 1)$ agit linéairement sur le "spineur" (U, V, W) , laissant la norme $|U|^2 + |V|^2 - |W|^2$ et la métrique réduite $d\sigma^2 \equiv h_{ij}dx^i dx^j$ invariantes.

La métrique de Schwarzschild peut être écrite sous la forme (3.51),

$$ds^2 = -\frac{r - 2m}{r} dt^2 + \frac{r}{r - 2m} [dr^2 + r(r - 2m)d\Omega^2], \quad (3.64)$$

conduisant aux potentiels d'Ernst

$$\mathcal{E} = f = \frac{r - 2m}{r}, \quad \psi = 0 \quad (3.65)$$

(solution neutre des équations d'Einstein-Maxwell), puis aux potentiels de Kinnersley

$$U = r - m, \quad V = 0, \quad W = m, \quad (3.66)$$

avec

$$|U|^2 + |V|^2 - |W|^2 = r(r - 2m). \quad (3.67)$$

Les potentiels de Kinnersley étant définis à une dilatation complexe près, la métrique de Schwarzschild peut être représentée de façon équivalente par le spineur

$$(\tilde{U}, \tilde{V}, \tilde{W}) = (1 - m/r, 0, m/r), \quad (3.68)$$

asymptotique au spineur de Minkowski $(1, 0, 0)$. Ce comportement asymptotique est préservé, d'une part par les transformations du sous-groupe $U(1, 1)$ mélangeant V et W , d'autre part par les transformations du sous-groupe $U(1)$ modifiant la phase de U , et plus généralement par les produits de ces deux types de transformations à une dilatation complexe (3.63) près, soit par les transformations du sous-groupe d'isotropie

$$H = S[U(1) \times U(1, 1)] \subset SU(2, 1). \quad (3.69)$$

Les transformations de H conservant le caractère électriquement neutre ($V = 0$) des solutions appartiennent à $S[U(1) \times U(1)]$, et sont donc équivalentes (voir note 3) aux transformations (3.34) engendrant une charge NUT. Les transformations de $SU(1, 1)$

$$\begin{pmatrix} U' \\ V' \\ W' \end{pmatrix} = \begin{pmatrix} 1 & 0 & 0 \\ 0 & \cosh 2\alpha & \sinh 2\alpha \\ 0 & \sinh 2\alpha & \cosh 2\alpha \end{pmatrix} \begin{pmatrix} U \\ V \\ W \end{pmatrix} \quad (3.70)$$

engendrent des solutions chargées. En définissant les nouveaux paramètres

$$m' \equiv m \cosh 2\alpha, \quad e' \equiv m \sinh 2\alpha \quad (m'^2 - e'^2 = m^2), \quad (3.71)$$

on obtient à partir de (3.70)

$$\begin{aligned} U' + W' &= r - m + m \cosh 2\alpha = r + r'_- = r', \\ U' - W' &= r - m - m \cosh 2\alpha = r' - 2m', \end{aligned} \quad (3.72)$$

$$V' = e', \quad (3.73)$$

qui conduisent à la solution

$$\begin{aligned} ds'^2 &= \frac{(r' - r'_+)(r' - r'_-)}{r'^2} dt^2 + \frac{r'^2}{(r' - r'_+)(r' - r'_-)} [dr'^2 + (r' - r'_+)(r' - r'_-) d\Omega^2], \\ \psi' &= \frac{e'}{r'}, \end{aligned} \quad (3.74)$$

où l'on reconnaît la solution de Reissner-Nordström (2.51) (les paramètres r'_\pm sont reliés à la masse de Schwarzschild et au paramètre α de la transformation par $r'_+ = 2m \cosh^2 \alpha$, $r'_- = 2m \sinh^2 \alpha$).

3.7 De Schwarzschild à Kerr

Les sections spatiales de la métrique de Schwarzschild sont à symétrie sphérique, tandis que celles de la métrique de Kerr sont seulement à symétrie axiale. Donc, contrairement à l'exemple précédent, il n'est pas possible de transformer la métrique de Schwarzschild en celle de Kerr par une transformation du groupe $G = SL(2, R)$ (ou $SU(2, 1)$), ces transformations préservant la métrique réduite à trois dimensions h_{ij} . Pourtant, le travail de Geroch [24] montre qu'il doit exister une relation entre ces deux solutions des équations d'Einstein.

3.7.1 Groupe de Geroch

Schwarzschild et Kerr ont en commun d'être des solutions stationnaires à symétrie axiale des équations d'Einstein, c'est-à-dire qu'elles ont deux vecteurs de Killing commutant entre eux, ∂_t et ∂_φ . Geroch a montré qu'on peut combiner à l'infini des transformations infinitésimales du groupe G (associé à la réduction dimensionnelle par rapport à un vecteur de Killing donné) avec des transformations linéaires infinitésimales dans l'espace à deux dimensions engendré par ∂_t et ∂_φ , conduisant ainsi à une structure appelée (improprement) "groupe" de Geroch.

L'existence de cette structure permet en principe de générer toutes les solutions stationnaires axisymétriques de E4 (ou de EM4) par des transformations du groupe. Il en résulte que E4 ou EM4 avec deux vecteurs de Killing sont des théories complètement intégrables. Les méthodes pratiques de construction de solutions exploitant cette propriété sont les méthodes de transformation de diffusion inverse (inverse scattering transform) [25].

Que se passe-t-il si on considère une transformation de Geroch, non plus infinitésimale, mais finie ? Les transformations du groupe $GL(2, R)$ agissant sur l'espace $(\partial_t, \partial_\varphi)$ sont a priori

$$\begin{pmatrix} d\varphi' \\ dt' \end{pmatrix} = \begin{pmatrix} \alpha & \beta \\ \gamma & \delta \end{pmatrix} \begin{pmatrix} d\varphi \\ dt \end{pmatrix}. \quad (3.75)$$

Mais le fait que ∂_φ engendre non pas des translations, mais des rotations (ses orbites sont fermées) conduit à des restrictions. D'abord, la périodicité de la variable angulaire φ est préservée à condition que $\alpha = 1$. Ensuite, la nouvelle variable temps $t' = \gamma\varphi + \delta t$ doit être périodiquement identifiée (modulo 2π), conduisant à l'existence de courbes fermées de genre temps violant la causalité, à moins que $\gamma = 0$. Après ces restrictions, il ne reste plus que des transformations à deux paramètres qui s'écrivent (après redéfinition de ces paramètres)

$$\mathcal{R}(\Omega, \gamma) \quad \left| \begin{array}{l} d\varphi' = d\varphi - \Omega dt \\ dt' = \gamma^{-1} dt \end{array} \right. . \quad (3.76)$$

Ces transformations consistent donc essentiellement dans le passage à un repère tournant à la vitesse angulaire Ω , combiné éventuellement avec un changement d'échelle des temps.

Le problème, c'est que le passage à un repère tournant modifie le comportement asymptotique. En mécanique non relativiste, le passager du repère tournant subit une "force centrifuge", certes fictive (elle peut être annulée localement en passant à un repère accéléré), mais dont les effets sont pourtant sensibles. En relativité générale, la transformation de coordonnées (3.76) agissant sur la métrique de Minkowski écrite en coordonnées sphériques conduit à la métrique

$$ds'^2 = -\gamma^2 dt'^2 + dr^2 + r^2[d\theta^2 + \sin^2\theta(d\varphi' + \Omega\gamma dt')^2]. \quad (3.77)$$

Cette métrique est toujours plate (puisque'on a simplement effectué une transformation globale de coordonnées), mais évidemment non asymptotiquement minkowskienne, puisque

$$-g'_{tt} = \gamma^2(1 - \Omega^2 r^2) \quad (3.78)$$

change de signe au-delà du cercle $r = \Omega^{-1}$ dont la vitesse de rotation est égale à celle de la lumière !

Malgré ce problème, il est possible de construire, dans le cadre de la théorie d'Einstein-Maxwell, des transformations de Geroch finies qui préservent le caractère asymptotiquement minkowskien des solutions. La solution [26] consiste à combiner le changement de repère $\mathcal{R}(\Omega, \gamma)$ avec une transformation $\Pi \in G = SU(2, 1)$ modifiant aussi le comportement asymptotique.

3.7.2 De Schwarzschild à Bertotti-Robinson

Réécrivons la métrique de Schwarzschild (après translation $r \rightarrow r + m_0$ de la coordonnée radiale) :

$$ds^2 = -\frac{r - m_0}{r + m_0} dt^2 + \frac{r + m_0}{r - m_0} [dr^2 + (r^2 - m_0^2) d\Omega^2], \quad (3.79)$$

et la métrique de Bertotti-Robinson ($AdS_2 \times S^2$)

$$d\hat{s}^2 = \left(1 - \frac{r^2}{m_0^2}\right) dt^2 + \left(\frac{r^2}{m_0^2} - 1\right)^{-1} [dr^2 + (r^2 - m_0^2) d\Omega^2]. \quad (3.80)$$

Ces deux 4-métriques ont même métrique réduite à trois dimensions (entre crochets). Il existe donc une transformation $\Pi \in SU(2, 1)$ qui relie entre elles les solutions de Schwarzschild (asymptotiquement minkowskienne) et de Bertotti-Robinson (non asymptotiquement minkowskienne). Cette transformation est l'involution ($\Pi^{-1} = \Pi$)

$$\Pi : U \longleftrightarrow V. \quad (3.81)$$

En effet, son action sur la solution de Schwarzschild conduit à

$$(U = r, V = 0, W = m_0) \longrightarrow (\hat{U} = 0, \hat{V} = r, \hat{W} = m_0) \\ \hat{f} = \frac{|\hat{U}|^2 + |\hat{V}|^2 - |\hat{W}|^2}{|\hat{U} + \hat{W}|^2} = \frac{r^2 - m_0^2}{m_0^2}, \quad \hat{\psi} = \frac{\hat{V}}{\hat{U} + \hat{W}} = \frac{r}{m_0}, \quad (3.82)$$

qui caractérisent la solution de Bertotti-Robinson.

Dans le langage des potentiels d'Ernst, la transformation Π agissant sur une solution de potentiels (\mathcal{E}, ψ) conduit à une solution de potentiels $(\hat{\mathcal{E}}, \hat{\psi})$ avec

$$\hat{\mathcal{E}} = \frac{-1 + \mathcal{E} + 2\psi}{1 - \mathcal{E} + 2\psi}, \quad \hat{\psi} = \frac{1 + \mathcal{E}}{1 - \mathcal{E} + 2\psi}. \quad (3.83)$$

Elle transforme une solution neutre $\psi = 0$ ($V = 0$) des équations d'Einstein-Maxwell en une solution avec $\hat{\mathcal{E}} = -1$ ($\hat{U} = 0$), et une solution électrostatique (\mathcal{E} et ψ réels) asymptotiquement minkowskienne en une solution électrostatique $(\hat{\mathcal{E}}, \hat{\psi})$ asymptotiquement Bertotti-Robinson.

Effectuons maintenant sur cette dernière solution "chapeauté" la transformation $\mathcal{R}(\Omega, \gamma)$ (passage à un repère tournant). Comme nous allons le voir en détail, cette transformation mélange le AdS_2 et le S^2 sans modifier fondamentalement le caractère asymptotiquement Bertotti-Robinson de la nouvelle solution $(\hat{\mathcal{E}}', \hat{\psi}')$. Par contre, cette dernière n'est plus électrostatique, le passage à un repère tournant induisant un champ magnétique (partie imaginaire de $\hat{\psi}'$). L'application à $(\hat{\mathcal{E}}', \hat{\psi}')$ de la transformation inverse $\Pi^{-1} = \Pi$ va donc conduire à une solution (\mathcal{E}', ψ') asymptotiquement plate, avec en général un moment dipolaire magnétique (qui pourra être annulé par un choix judicieux des paramètres Ω et γ) et un moment dipolaire gravimagnétique, c'est-à-dire un moment angulaire. Donc, au final, la transformation combinée finie de Geroch

$$\Sigma = \Pi^{-1} \mathcal{R} \Pi \quad (3.84)$$

génère une solution en rotation à partir d'une solution statique !

3.7.3 De Bertotti-Robinson à Kerr

Revenons au cas particulier de la solution de Bertotti-Robinson (la transformée par Π de la solution de Schwarzschild). Par commodité, réécrivons-là en termes de la coordonnée temporelle sans dimension $\tau = t/m_0$ et des coordonnées sphéroïdales (également sans dimension) $x = r/m_0$, $y = \cos \theta$:

$$\begin{aligned} d\hat{s}^2 &= m_0^2 \left[(1-x^2)d\tau^2 + \frac{dx^2}{x^2-1} + \frac{dy^2}{1-y^2} + (1-y^2)d\varphi^2 \right], \\ \hat{A} &= m_0 x d\tau. \end{aligned} \quad (3.85)$$

L'action sur cette solution de la transformation

$$\mathcal{R}(\Omega, \gamma) \quad \left| \begin{array}{l} d\varphi = d\varphi' + \gamma\eta d\tau' \\ d\tau = \gamma d\tau' \end{array} \right. \quad (\eta = m_0\Omega) \quad (3.86)$$

conduit à la “nouvelle” solution⁶

$$\begin{aligned} d\hat{s}'^2 &= m_0^2 \left[-\gamma^2(x^2 + \eta^2 y^2 - (1 + \eta^2)) \left(d\tau' - \frac{\eta(1-y^2)}{\gamma(x^2 + \eta^2 y^2 - (1 + \eta^2))} d\varphi' \right)^2 \right. \\ &\quad \left. + \frac{dx^2}{x^2-1} + \frac{dy^2}{1-y^2} + \frac{(x^2-1)(1-y^2)}{x^2 + \eta^2 y^2 - (1 + \eta^2)} d\varphi'^2 \right] \\ \hat{A}' &= m_0 \gamma x d\tau', \end{aligned} \quad (3.87)$$

qui a le même comportement asymptotique pour $x \rightarrow \infty$ (aux facteurs γ et $1 + \eta^2$ près). Le champ magnétique induit, donné par

$$\hat{F}'_{x\varphi} = \frac{\partial\varphi'}{\partial\tau} \hat{F}'_{x\tau} = \frac{\eta}{m_0^4}, \quad (3.88)$$

conduit (en utilisant (3.52), où $\sqrt{|h|}/f = m_0^4 \gamma$, et (3.53)) au potentiel scalaire magnétique $u' = -\eta\gamma y$. Après calcul du potentiel scalaire de twist par résolution de l'équation de dualité (3.55), on obtient par (3.56) les potentiels d'Ernst transformés

$$\hat{\mathcal{E}}' = -(p^2 + q^2), \quad \hat{\psi}' = px - i q y \quad (p \equiv \gamma, q \equiv \eta\gamma). \quad (3.89)$$

En particulier, le choix de la relation entre les paramètres

$$p^2 + q^2 = 1 \quad (3.90)$$

($\gamma = (1 + \eta^2)^{-1/2}$) assure que $\hat{\mathcal{E}}' = -1$, et donc que la solution transformée $(\mathcal{E}', \psi') = \Pi^{-1}(\hat{\mathcal{E}}', \hat{\psi}')$ est neutre. Les potentiels d'Ernst de cette solution finale

$$\mathcal{E}' = \frac{px - i q y - 1}{px - i q y + 1}, \quad \psi' = 0 \quad (3.91)$$

sont ceux de la solution de Kerr de paramètres $m = m_0 p$, $a = m_0 q$, exprimés en coordonnées sphéroïdales [22].

6. En fait, il s'agit bien sûr toujours de l'espace-temps de Bertotti-Robinson, représenté dans un nouveau système de coordonnées.

3.8 Gravitation à cinq dimensions

3.8.1 Le modèle sigma

Considérons la gravitation d'Einstein sans source à cinq dimensions (E5). Dans le cas où la 5-métrie admet un vecteur de Killing ∂_5 de genre espace, la théorie se réduit à une théorie effective à quatre dimensions (une généralisation dilatationique de la théorie d'Einstein-Maxwell) appelée théorie de Kaluza-Klein. Les solutions stationnaires de cette théorie admettent elles-mêmes un vecteur de Killing ∂_4 de genre temps, permettant de réduire à nouveau à trois dimensions. Il est plus élégant de réduire directement E5 avec deux vecteurs de Killing (un de genre temps, un de genre espace) de cinq à trois dimensions en conservant explicitement la covariance sous $GL(2, R)$ [27, 28] :

$$ds^2 = \lambda_{ab}(dx^a + \mathcal{A}_i^a dx^i)(dx^b + \mathcal{A}_j^b dx^j) + \tau^{-1} h_{ij} dx^i dx^j, \quad (3.92)$$

avec $a, b = 4, 5$, $i, j = 1, 2, 3$, et $\tau \equiv -\det \lambda$. La réduction des équations d'Einstein à cinq dimensions généralise celle effectuée à quatre dimensions, l'équation de dualité (3.13) étant remplacée par l'équation 2-covariante

$$\tau \lambda_{ab} \nabla \wedge \vec{\mathcal{A}}^b = \nabla \omega_a. \quad (3.93)$$

Il en résulte un modèle sigma auto-gravitant pour un espace cible à cinq dimensions (trois potentiels "graviélectriques" λ_{ab} et deux potentiels "gravimagnétiques" ω_a). Neugebauer [29], puis Maison [27] ont montré que cet espace cible admet huit vecteurs de Killing, engendrant le groupe $SL(3, R)$. Ce groupe agit bilinéairement sur la matrice représentative 3×3 symétrique et unimodulaire

$$\chi = \begin{pmatrix} \lambda - \tau^{-1} \omega \omega^T & \tau^{-1} \omega \\ \tau^{-1} \omega^T & -\tau^{-1} \end{pmatrix}, \quad (3.94)$$

où λ est un bloc 2×2 , et ω est un 2-vecteur colonne. De façon analogue au cas de E4, les équations réduites

$$\nabla(\chi^{-1} \nabla \chi) = 0, \quad (3.95)$$

$$R_{ij}(h) = \frac{1}{4} \text{Tr}(\chi^{-1} \partial_i \chi \chi^{-1} \partial_j \chi), \quad (3.96)$$

sont manifestement invariantes sous $G = SL(3, R)$.

Les solutions intéressantes du point de vue de la théorie de Kaluza-Klein sont asymptotiques à un cylindre d'espace-temps, produit direct d'un cercle (la cinquième dimension compactifiée) par Minkowski à quatre dimensions. Dans la terminologie moderne, les trous noirs de ce type sont appelés cordes noires ("black strings"). Dans le cas d'un tel comportement asymptotique, la matrice de Maison (3.94) est asymptote à

$$\chi_\infty = \eta_{BS} = \begin{pmatrix} -1 & 0 & 0 \\ 0 & 1 & 0 \\ 0 & 0 & -1 \end{pmatrix}. \quad (3.97)$$

Cette matrice étant préservée par le groupe d'isotropie $H = SO(2, 1)$, l'espace cible de E5 est $SL(3, R)/SO(2, 1)$. Cette démarche se généralise simplement au cas de la théorie d'Einstein à $4 + p$ dimensions avec $(p + 1)$ vecteurs de Killing (E(4+p)), dont l'espace cible est $SL(2 + p, R)/SO(2, p)$.

Une des premières applications fructueuses de ce modèle sigma basé sur $SL(3, R)$ a été la construction de solutions de Kaluza-Klein multi-centres [21], qui a servi de modèle pour le schéma général exposé au 3.4. Plus tard, Rasheed [30] a généré des solutions cordes noires en rotation à partir de la solution de Kerr, par la transformation

$$\chi = P^T \chi_K P, \quad (3.98)$$

où χ_K est la matrice de Maison pour la corde noire de Kerr

$$ds_{(5)}^2 = (dx^5)^2 + ds_K^2, \quad (3.99)$$

(ds_K^2 étant la métrique de Kerr à quatre dimensions), et P une matrice constante de $SO(2, 1)$, contrainte de façon à ce que la charge NUT de la solution résultante s'annule.

3.8.2 Des cordes noires aux trous noirs

A côté des solutions cordes noires, dont l'horizon a la topologie $S^1 \times S^2$, la théorie d'Einstein à cinq dimensions a aussi des solutions trous noirs ("black holes"), dont l'horizon a la topologie S^3 . Les solutions stationnaires trous noirs à cinq dimensions, généralisant la solution de Kerr à quatre dimensions, ont été construites par Myers et Perry [31]. Le groupe de rotation à quatre dimensions d'espace admettant deux générateurs commutant entre eux, ces solutions sont donc paramétrées par trois "nombres quantiques" m (masse), a_+ et a_- (reliés aux deux moments angulaires).

La solution trou noir statique à cinq dimensions, obtenue initialement par Tangherlini [32], s'écrit

$$ds_T^2 = -\left(1 - \frac{\mu}{\rho^2}\right) dt^2 + \left(1 - \frac{\mu}{\rho^2}\right)^{-1} d\rho^2 + \rho^2 d\Omega_3^2, \quad (3.100)$$

où

$$d\Omega_3^2 = \frac{1}{4} \left[(d\eta - \cos\theta d\varphi)^2 + d\theta^2 + \sin^2\theta d\varphi^2 \right] \quad (3.101)$$

est la métrique de la trois-sphère. La transformation de coordonnées $\rho^2 = 4mr$, $\eta = x^5/m$, avec $m^2 = \mu/8$, permet de réécrire (3.100) sous la forme

$$ds_T^2 = -\frac{r-2m}{r} dt^2 + \frac{r}{m} (dx^5 - m \cos\theta d\varphi)^2 + \frac{m}{r-2m} \left[dr^2 + r(r-2m) \left(d\theta^2 + \sin^2\theta d\varphi^2 \right) \right]. \quad (3.102)$$

Cette 5-métrique de Tangherlini a la même métrique réduite à trois dimensions que la corde noire de Schwarzschild,

$$ds_S^2 = -\frac{r-2m}{r} dt^2 + (dx^5)^2 + \frac{r}{r-2m} \left[dr^2 + r(r-2m) \left(d\theta^2 + \sin^2\theta d\varphi^2 \right) \right], \quad (3.103)$$

donc leurs deux matrices de Maison doivent être reliées par une transformation de $SL(3, R)$

$$\chi_T = P_{ST}^T \chi_S P_{ST}. \quad (3.104)$$

La matrice de transformation P_{ST} a été déterminée dans [33]. Cette matrice n'appartient pas au sous-groupe $SO(2, 1)$, parce que les métriques (3.103) et (3.102) ont des comportements asymptotiques différents, ce qui fait que la matrice χ_T tend pour $r \rightarrow \infty$ vers une matrice constante η_{BH} (donnée plus loin en (3.106)) différente de la matrice η_{BS} de (3.97).

Toutes les 5-métriques du type "corde noire" ayant le même comportement asymptotique que (3.103), et toutes les 5-métriques du type "trou noir" ayant le même comportement asymptotique que (3.102), on s'attend à ce que de façon générale la transformation (3.104) transforme des cordes noires en trous noirs :

$$\chi_{BH} = P_{ST}^T \chi_{BS} P_{ST}. \quad (3.105)$$

En effet, nous avons trouvé dans [33, 34] que l'action de cette transformation sur la corde noire de Kerr (3.99) conduit au trou noir de Myers-Perry avec des moments angulaires opposés, $a_+ = -a_-$. Nous avons aussi remarqué que, dans le cas général, la 3-métrique réduite du trou noir de Myers-Perry avec des paramètres a_+ et a_- quelconques coïncide à nouveau avec celle de la corde noire de Kerr. Dans le cas particulier du trou noir de Myers-Perry avec des moments angulaires *égaux*, $a_+ = a_-$, la métrique à quatre dimensions est statique (dyonique), et la 3-métrique réduite est la même que celle de la corde noire de Schwarzschild. Mais la portée de cette observation nous a échappé à l'époque.

3.8.3 De Tangherlini à Myers-Perry

Giusto et Saxena [35] ont remarqué indépendamment que la matrice de Maison asymptotique n'est pas la même pour les cordes noires et pour les trous noirs. Dans le cas de la métrique de Tangherlini (3.102), $\omega_5 = r/m + b$ (b constante d'intégration), donc $\chi_{45} = \tau^{-1} \omega_5 \rightarrow 1$, tandis que χ_{55} tend vers une limite finie qu'on peut annuler par un choix approprié de la constante b . Dans ce cas,

$$\eta_{BH} = \begin{pmatrix} -1 & 0 & 0 \\ 0 & 0 & 1 \\ 0 & 1 & 0 \end{pmatrix}. \quad (3.106)$$

Les deux matrices η_{BH} et η_{BS} sont reliées par la transformation (3.104) avec la matrice de transformation

$$P_{ST} = \begin{pmatrix} 1 & 0 & 0 \\ 0 & 1/\sqrt{2} & 1/\sqrt{2} \\ 0 & -1/\sqrt{2} & 1/\sqrt{2} \end{pmatrix}. \quad (3.107)$$

Le groupe d'isotropie $SO(2, 1)$ préservant η_{BH} est engendré par trois transformations M_α , M_β et M_γ , ces deux dernières triviales (ce sont des transformations de jauge généralisées). Giusto et Saxena ont montré que la transformation M_α permet d'engendrer le trou noir de Myers-Perry à partir du trou noir de Tangherlini en trois étapes :

1. L'action de M_α sur la métrique de Tangherlini (3.100) (où la métrique de S^3 est écrite sous une forme symétrique en (η, φ))

$$ds_T^2 = -\left(1 - \frac{\mu}{\rho^2}\right) dt^2 + \left(1 - \frac{\mu}{\rho^2}\right)^{-1} d\rho^2 + \frac{\rho^2}{4} (d\theta^2 + d\eta^2 + d\varphi^2 - 2 \cos \theta d\eta d\varphi), \quad (3.108)$$

réduite par rapport aux vecteurs de Killing ∂_t et ∂_η , conduit à la métrique de Myers-Perry avec deux moments angulaires égaux, $a_+ = a_-$.

2. L'échange ("flip") des angles $\eta \leftrightarrow \varphi$ revient à réduire la métrique de Myers-Perry avec $a_+ = a_-$ par rapport aux vecteurs de Killing ∂_t et ∂_φ au lieu de ∂_t et ∂_η (une transformation finie de Geroch !) ou, de façon équivalente, à remplacer la métrique de Myers-Perry avec deux moments angulaires égaux par la métrique de Myers-Perry avec deux moments angulaires opposés.
3. L'action sur cette dernière d'une nouvelle transformation $M_{\alpha'}$ conduit à une métrique de Myers-Perry générique avec $a_+ \neq \pm a_-$.

3.9 Coda

En cinq dimensions, les topologies possibles pour les objets noirs sont plus variées qu'en quatre dimensions, et parallèlement les modèles sigma offrent de nouvelles possibilités pour transformer ces objets noirs entre eux. Ainsi, la combinaison entre les transformations P_{ST} du 3.8.2 et GS (Giusto-Saxena) du 3.8.3 fournit une autre possibilité de transformer la métrique de Schwarzschild en la métrique de Kerr, cette fois dans le cadre du groupe $SL(3, R)$, par la suite des opérations :

$$S \xrightarrow{P_{ST}} T \xrightarrow{GS} MP \xrightarrow{P_{ST}^{-1}} K$$

A côté des cordes noires et des trous noirs, il existe aussi en cinq dimensions des anneaux noirs ("black rings"), qu'on peut visualiser comme des cordes noires fermées. Ceux-ci ne sont réguliers que s'ils possèdent au moins un moment angulaire [36]. Des anneaux réguliers avec deux moments angulaires ont été construits par la méthode de transformation de diffusion inverse [37]. En principe, ils devraient être reliés à ceux de [36] par une transformation de Giusto-Saxena mais, curieusement, ceci n'a pas encore été vérifié [38].

La théorie d'Einstein-Maxwell à quatre dimensions peut être considérée comme le secteur bosonique de la supergravité avec $\mathcal{N} = 2$ à quatre dimensions. Sa généralisation naturelle à cinq dimensions est le secteur bosonique de la supergravité minimale à cinq dimensions, c'est-à-dire la théorie d'Einstein-Maxwell avec un terme de Chern-Simons (EM5). Le groupe d'invariance de cette théorie réduite à trois dimensions est le groupe de Lie exceptionnel G_2 , qui a été utilisé pour engendrer des trous noirs et des anneaux noirs chargés [39]. Dans le cadre de ce groupe, on peut également généraliser la méthode du 3.7 pour ajouter un ou deux moments angulaires à un trou noir statique, la solution intermédiaire "chapeauté" étant cette fois l'équivalent pour EM5 de la solution de Bertotti-Robinson ($AdS_2 \times S^3$ ou $AdS_3 \times S^2$) [40], mais l'application de cette méthode aux anneaux noirs conduit à des résultats difficiles à interpréter.

Enfin, de même qu'il est possible de transformer des cordes noires en trous noirs, serait-il possible de transformer des trous noirs en anneaux noirs, en passant à nouveau par l'intermédiaire de transformations de coordonnées sur la solution de Bertotti-Robinson à cinq dimensions ? La question mérite d'être posée.

Références

- [1] Ait-Moussa, K., Clément, G. et Leygnac, C., *Class. Quantum Grav.* **20**, L277 (2003) [arXiv :gr-qc/0303042]
- [2] Bouchareb, A. et Clément, G., *Class. Quantum Grav.* **24**, 5581 (2007) [arXiv :0706.0263]
- [3] Ait Moussa, K., Clément, G., Guennoune, H. et Leygnac, C., *Phys. Rev. D* **78**, 064065 (2008) [arXiv :0807.4241]
- [4] Landau, L. et Lifchitz, E., *Théorie des champs* (Ed. Mir, Moscou 1989)
- [5] Weinberg, E., *Gravitation and Cosmology : Principles and applications of the general theory of relativity* (John Wiley and Sons, 1972)
- [6] Misner, C.W., Thorne, K.S. et Wheeler, J.A., *Gravitation* (Freeman 1973)
- [7] Wald, R., *General relativity* (University of Chicago Press 1984)
- [8] Kenyon, I.R., *General relativity* (Oxford University Press 1990)
- [9] Hawking, S.W. et Ellis, G.F.R., *The large scale structure of space-time* (Cambridge University Press 1973)
- [10] Chandrasekhar, S., *The mathematical theory of black holes* (Oxford University Press 1983)
- [11] Hawking, S.W., *Hawking on the big bang and black holes* (World Scientific 1993)
- [12] Stephani, H., Kramer, D., MacCallum, M., Hoenselaers, C. et Herlt, E., *Exact solutions to Einstein's field equations, second edition* (Cambridge University Press 2003)
- [13] Chen, C.M. et Nester, J., *Grav. & Cosm.* **6**, 257 (2000) [arXiv :gr-qc/0001088]
- [14] Booth, I.S.N., *A quasilocal hamiltonian for gravity with classical and quantum applications* [arXiv :gr-qc/0008030]
- [15] Bertotti, B., *Phys. Rev.* **116**, 1331 (1959); Robinson, I., *Bull. Acad. Polon. Sci., Ser. Math. Astr. Phys.* **7**, 351 (1959)
- [16] Arnowitt, R., Deser, S. et Misner, C.W., *The dynamics of general relativity*, in "Gravitation : An introduction to current research", ed Witten L. (Wiley, New York, 1962)
- [17] Carter, B., *Phys. Rev.* **174**, 1559 (1968)
- [18] Bekenstein, J.D., *Phys. Rev D* **7**, 2333 (1973)
- [19] Breitenlohner, P., Maison, D. et Gibbons, G.W., *Commun. Math. Phys.* **120**, 295 (1988)
- [20] Clément, G. et Gal'tsov, D., *Phys. Rev. D* **54**, 6136 (1996) [arXiv :hep-th/9607043]
- [21] Clément, G., *Gen. Rel. Grav.* **18**, 861 (1986); *Phys. Lett. A* **118**, 11 (1986)

- [22] Ernst, F.J., Phys. Rev. **167**, 1175 (1968); Phys. Rev. **168**, 1415 (1968)
- [23] Kinnersley, W., Journ. Math. Phys. **14**, 651 (1973)
- [24] Geroch, R., Journ. Math. Phys. **13**, 394 (1972)
- [25] Belinskii, V.A. et Zakharov, V.E., Sov. Phys. JETP **50**, 1 (1979)
- [26] Clément, G., Phys. Rev. D **57**, 4885 (1998) [arXiv :gr-qc/9710109]; Grav. & Cosmol. **5**, 281 (1999) [arXiv :gr-qc/9910096]
- [27] Maison, D., Gen. Rel. Grav. **10**, 717 (1979)
- [28] Ait Moussa, K., *Diffusion classique par un dyon de Kaluza-Klein*, Thèse de Magister en Physique, Université de Constantine (1989)
- [29] Neugebauer, G., *Untersuchungen zu Einstein-Maxwell-Feldern mit eindimensionaler Bewegungsgruppe*, Habilitationsschrift, FSU Jena (1969)
- [30] Rasheed, D., Nucl. Phys. B **454**, 379 (1995)
- [31] Myers, R.C. et Perry, M.J., Annals Phys. (NY) **172**, 304 (1986)
- [32] Tangherlini, F.R., Nuovo Cimento **77**, 636 (1963)
- [33] Clément, G. et Leygnac, C., Phys. Rev. D **70**, 084018 (2004) [arXiv :gr-qc/0405034]
- [34] Leygnac, C., *Trous noirs non asymptotiquement plats*, Thèse de Doctorat, Université Claude Bernard, Lyon (2004) [arXiv :gr-qc/0409040]
- [35] Giusto, S. et Saxena, A., Class. Quantum Grav. **24**, 4269 (2007) [arXiv :0705.4484]
- [36] Emparan, R. et Reall, H.S., Phys. Rev. Lett. **88**, 101101 (2002) [arXiv :hep-th/0110260]
- [37] Pomeransky, A.A. et Sen'kov, R.A., *Black ring with two angular momenta* [arXiv :hep-th/0612005]
- [38] G. Clément et C. Leygnac, travaux en cours.
- [39] Bouchareb, A., Chen, C.M., Clément, G., Gal'tsov, D.V., Scherbluk, N.G. et Wolf, T., Phys. Rev. D **76**, 104032 (2007); Erratum, Phys. Rev. D **78**, 029901 (2008) [arXiv :0708.2361]
- [40] Clément, G., *Sigma model approaches to exact solutions in higher-dimensional gravity and supergravity* [arXiv :0811.069]